

理论天体物理

TA: 周智勤
2909

2902
18911171275

zhouzhiquin@pku.edu.cn

刘高坤: fkliau@pku.edu.cn

《恒星天体物理》

《恒星光球的观测和分析》

《天体物理中的辐射机制》

《Theoretical Astrophysics vol. 1》

形成. 结构. 组成. 演化.

905. A. Schuster 辐射转移.

906. K. Schwarzschild 辐射平衡. 局部热平衡.

Photosphere: 白光观测到. 底层密度较大.

厚度相对较小. $7 \times 10^{-4} R_s$, 500 km

发出: 黑体辐射. 连续谱.

Chromosphere: 窄光谱看到. 化学成分 $3 \times 10^{-3} R_s$
2000 km.

H α 发射线. 对 FUV, radio 波段辐射.

F-M 晚型星. O-A 早型星. 有与太阳

色球物理性质相似.

Corona: 色球之外 $\gg R_s$. 全食. 冕仪

对可见光贡献忽略.

radio \rightarrow X-ray (轫致辐射)

光谱类型: 与色球层谱线产生有关.

几乎所有光谱型恒星都有冕.

可见光谱 Continuous Spectrum + Absorption Lines

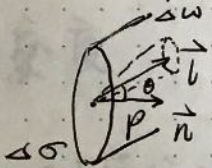
少数恒星 Emission Lines 大气厚度 $\sim \rightarrow$ 恒星半径

延展大气, 恒星包层.

大气模型: 连续光谱; 吸收光谱; 发射光谱; 组成

辐射场: 辐射强度

任意点 P, 任意方向 \vec{v}



以 \vec{v} 为轴线做角元 $\Delta \omega$

在 $\Delta \omega$ 上每一点都做 $\Delta \omega$ 立体角包络面 $\Delta \Omega$

$\Delta \Phi_\nu$ 是 Δt 内, 经过 $\Delta \omega$, 落在 $\Delta \Omega$ 内, 频率在

$\nu \rightarrow \nu + \Delta \nu$ 内. 若 $\Delta t, \Delta \omega, \Delta \Omega, \Delta \nu \rightarrow 0$.

$\Delta \Phi_\nu \propto \Delta \omega \cos \theta$. (Taylor 展开忽略高次项)

故 $\Delta \Phi_\nu \propto \Delta \omega \cos \theta \Delta t \Delta \omega \Delta \nu$

$$I_\nu \equiv \lim_{\substack{\Delta \omega \rightarrow 0 \\ \Delta t \rightarrow 0 \\ \Delta \omega \rightarrow 0 \\ \Delta \nu \rightarrow 0}} \frac{\Delta \Phi_\nu}{\Delta \omega \cos \theta \Delta t \Delta \omega \Delta \nu}$$

位置、辐射方向、时间、频率函数，与所取的元（是）
方向无关。

$$\text{erg} \cdot \text{cm}^{-2} \cdot \text{sec}^{-1} \cdot \text{Hz}^{-1} \cdot \text{sr}^{-1}$$

I_ν 与方向无关，各向同性，与位置无关均匀。

$$dE_\nu = I_\nu d\omega \cos\theta dt dV$$

对所有方向积分

$$\begin{aligned} dE_\nu &= d\omega dt dV \int_{4\pi} I_\nu \cos\theta d\omega \\ &= d\omega dt dV \int_0^{2\pi} d\varphi \int_0^\pi I_\nu d\theta \cos\theta \sin\theta \end{aligned}$$

再除以 $d\omega dt dV$ 。

$$\Rightarrow \pi F_\nu \equiv \frac{dE_\nu}{d\omega dt dV} = \int_{4\pi} I_\nu \cos\theta d\omega \quad \text{辐射流}$$

单位时间的单位辐射流（正向通过与反向通过之差）

大小与面元在空间里的位置与方向有关。 $\text{erg} \cdot \text{cm}^{-2} \cdot \text{sec}^{-1} \cdot \text{Hz}^{-1}$

$$\vec{F} = \int_{4\pi} I_\nu \vec{u} d\omega$$

由于 dE_ν 守恒，但 $4\pi r^2$ ^增 大，于是穿过单位面积辐射流减少，但 I_ν 不变，因为 $d\omega$ 也按平方反比变化。

在恒星大气中对沿着半径向外一辐射流感兴趣

假设辐射场轴对称。

$$\pi F_\nu = 2\pi \int_0^\pi I_\nu(\theta) \cos\theta \sin\theta d\theta$$

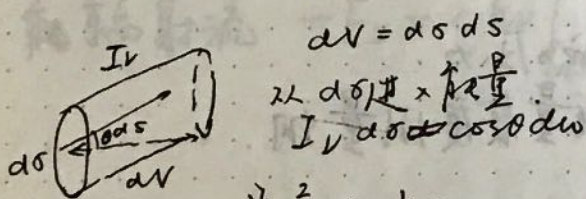
平均辐射强度 $J_\nu = \frac{\int I_\nu d\omega}{\int d\omega} \xrightarrow{\text{对球面}} \frac{1}{4\pi} \int I_\nu d\omega$

$$\text{erg} \cdot \text{cm}^{-2} \cdot \text{sec}^{-1} \cdot \text{Hz}^{-1}$$

各向同性 $J_\nu = I_\nu$

辐射密度

某一时刻单位体积内包含辐射能量



$$dV = ds ds$$

从 ds 进 \times 能量

$$I_\nu ds ds \cos\theta d\omega$$

光通过体元

$$dt = \frac{dl}{c} = \frac{ds}{c \cos\theta}$$

获得能量 $dE_\nu = I_\nu ds ds \cos\theta d\omega dt$

$$= \frac{1}{c} I_\nu d\omega dV$$

对立体角积分再除体积

$$U_\nu = \frac{1}{c} \int_{4\pi} I_\nu d\omega \quad \text{erg} \cdot \text{cm}^{-3} \cdot \text{Hz}^{-1}$$

辐射压力. $h\nu$ 的 quanta 携带 $\frac{h\nu}{c}$ 的动量

压力: 单位时间通过单位截面积光子携带的动量

$$dE\nu = I_\nu \cos\theta d\omega d\nu d\delta dt$$

动量大小 $\frac{dE\nu}{c}$

只有在法线方向上才有贡献

$$\frac{dE\nu}{c} \cos\theta = d\delta dt \frac{1}{c} I_\nu \cos^2\theta d\omega d\nu$$

对立体角积分

$$dp_\nu = d\delta dt d\nu \frac{1}{c} \int_{4\pi} I_\nu \cos^2\theta d\omega$$

$$P_{R,\nu} = \frac{dp_\nu}{d\delta dt d\nu} = \frac{1}{c} \int_{4\pi} I_\nu \cos^2\theta d\omega$$

单色辐射垂直于单位面积的压力

$\text{erg} \cdot \text{cm}^{-3} \cdot \text{Hz}^{-1}$ 与能量密度同量纲

辐射压力是张量

取决于所取的辐射方向

$$\vec{P}_{R,\nu}(\mathbf{r}, t) = \frac{1}{c} \int_{4\pi} I_\nu \vec{l} \vec{l} d\omega \quad (\text{脱离张量本身})$$

$$(P_{R,\nu})_{j,k} = \frac{1}{c} \int_{4\pi} I_\nu l_j l_k d\omega$$

总辐射强度, 辐射流, 辐射密度, 辐射压力,

辐射场的微观描述

X-ray, γ -ray (可以形成连续光子流)

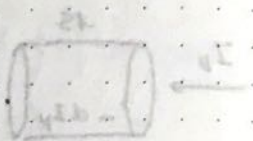
$f_R(\vec{r}, \vec{v}, \nu, t)$ 光子分布函数

$$dE_\nu = I_\nu \cos\theta d\omega d\nu dt$$

$$h\nu f_R c dt (\vec{v} \cdot \vec{n} d\omega) d\nu d\nu$$

$$\Rightarrow I_\nu = ch\nu f_R(\vec{r}, \vec{v}, \nu, t)$$

f_R 单位 photons $\cdot \text{cm}^{-3} \cdot \text{Hz}^{-1} \cdot \text{sr}^{-1}$



能量密度 $U_\nu = \int_{4\pi} h\nu f_R(\vec{r}, \vec{v}, \nu, t) d\omega$

辐射流 $\pi F_\nu = ch\nu \int_{4\pi} f_R(\vec{r}, \vec{v}, \nu, t) (\vec{v} \cdot \vec{n}) d\omega$

辐射压力 $(P_{R,\nu}) = \int_{4\pi} [f_R(\vec{r}, \vec{v}, \nu, t) h\nu c] \frac{v_j v_k}{c} d\omega$

$$= \int_{4\pi} [f_R(\vec{r}, \vec{v}, \nu, t) c l_j] \frac{h\nu v_k}{c} d\omega$$

发射系数, 消光(吸收)系数和源函数.

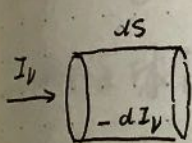
质量元 dm 发射能量

$$dE_\nu \propto dm dt d\nu d\omega$$

Def: $dE_\nu = j_\nu dm dt d\nu d\omega$

即 $\frac{dE_\nu}{dm dt d\nu d\omega} = j_\nu(\vec{r}, \vec{v}, \nu)$ 单位 $\text{erg} \cdot \text{g}^{-1} \cdot \text{sec}^{-1} \cdot \text{sr}^{-1} \cdot \text{Hz}^{-1}$

吸收系数



$$dI_\nu = -\chi_\nu \rho I_\nu ds$$

↓
对频率 ν 的单位质量吸收系数 $\text{cm}^2 \cdot \text{g}^{-1}$

$$I_\nu = I_\nu(0) e^{-\int_0^{ds} \chi_\nu \rho ds}$$

纯吸收层按指数衰减

$$E_\nu = E_\nu(0) e^{-\int_0^s \chi_\nu \rho ds} = E_\nu(0) e^{-\tau_\nu}$$

Def $\tau_\nu = \int_0^s \chi_\nu \rho ds$ 光学厚度(无量纲)

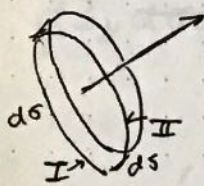
$\tau_\nu > 1$ 光学厚 $E_\nu \ll E_\nu(0)$ Optical thick

$\tau_\nu < 1$ 光学薄 $E_\nu \sim E_\nu(0)$

源函数 $S_\nu \equiv j_\nu / \chi_\nu$

辐射转移方程.

静止介质 $d\sigma \gg ds$.



进入能量

$$E_{\nu}^{(I)} = I_{\nu} d\omega d\sigma dt d\nu$$

$$E_{\nu}^{(II)} = (I_{\nu} + dI_{\nu}) d\omega d\sigma dt d\nu$$

$$\Delta E_{\nu} = E_{\nu}^{(II)} - E_{\nu}^{(I)} = dI_{\nu} d\omega d\sigma dt d\nu$$

$$\Delta E_{\nu}^{(+)} = j_{\nu} d\omega d\sigma dt d\nu$$

$$= j_{\nu} \rho ds d\omega dt d\nu$$

$$\Delta E_{\nu}^{(-)} = -E_{\nu}^{(I)} \chi_{\nu} \rho ds$$

$$= -I_{\nu} \chi_{\nu} \rho d\omega dt d\nu ds$$

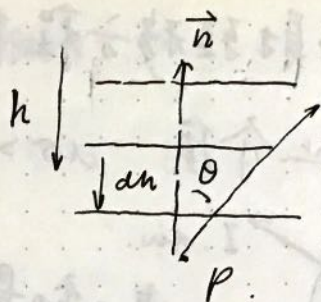
$$\text{由 } \Delta E_{\nu} = \Delta E_{\nu}^{(+)} + \Delta E_{\nu}^{(-)}$$

解得 $\frac{dI_{\nu}}{ds} = -I_{\nu} \chi_{\nu} \rho + j_{\nu} \rho$ 辐射转移方程.

1) 恒星大气厚度 \ll 恒星半径. Photosphere Chromosphere
视为平面平行层.

$$dh = -\cos\theta ds$$

$$\Rightarrow ds = -\frac{dh}{\cos\theta}$$



代入辐射转移 Eq.

$$\cos\theta \frac{dI_\nu}{dh} = I_\nu \chi_\nu \rho - j_\nu \rho$$

两边同除以 $\chi_\nu \rho$. 令 $\rho \chi_\nu dh = dt_\nu$. $S_\nu = j_\nu / \chi_\nu$

$$\cos\theta \frac{dI_\nu}{dt_\nu} = I_\nu - S_\nu \quad \text{平面平行层大气中}$$

ii) 大气层厚度与半径相当. (Coronadi et al.)

假设轴对称.

$$\frac{dI_\nu}{ds} = \left(\frac{\partial r}{\partial s} \frac{\partial \theta}{\partial r} + \frac{\partial \theta}{\partial s} \frac{\partial r}{\partial \theta} \right) I_\nu$$

iii) 与时间有关 - 辐射场

$$dI_\nu d\delta dt d\nu d\omega = \left(\frac{\partial I_\nu}{\partial \delta} d\delta + \frac{\partial I_\nu}{\partial t} dt \right) d\delta dt d\nu d\omega$$

$$= \left(\frac{\partial I_\nu}{\partial \delta} + \frac{\partial I}{\partial t} \frac{dt}{d\delta} \right) d\delta d\delta dt d\nu d\omega$$

$$\Rightarrow \frac{\partial I_\nu}{\partial \delta} + \frac{1}{c} \frac{\partial I}{\partial t} = -I_\nu \chi_\nu \rho + j\nu \rho$$

↓
合时的

光子的 Boltzmann 方程

与辐射转移方程的一致性

$f(\vec{r}, \vec{p}, t)$ 光子分布函数

$$\frac{df}{dt} = 0 \Rightarrow \frac{\partial f}{\partial t} + v_x \frac{\partial f}{\partial x} + v_i \frac{\partial f}{\partial x_i} + F_i \frac{\partial f}{\partial p_i} = \left(\frac{df}{dt} \right)_{\text{Collision}}$$

↓
流时

↓
粒子几何空间

↓
外-力作用

$$F_i = \frac{\partial p_i}{\partial t}$$

Vector $\frac{\partial f}{\partial t} + (\vec{v} \cdot \nabla) f + (\vec{F} \cdot \nabla) f = \left(\frac{df}{dt} \right)_{\text{Collision}}$

对光子元体 静止度量 $\vec{v} = 0$. Regardless of CR effect.

$\Rightarrow \vec{F} = 0$ 光子速度不变 $\vec{v} = c\vec{l}$

光子分布函数 $I_\nu = h\nu c f_R(\vec{r}, \vec{v}, t)$

光子间相互作用在恒星元中忽略不计 (但在高能
 γ 射线中不能忽略 $\gamma + \gamma \rightarrow e^- + e^+$)

故碰撞项是光子与物质间相互作用.

$$\left(\frac{df}{dt} \right)_{\text{Collision}} = \frac{j_\nu \rho - I_\nu \kappa_\nu \rho}{h\nu}$$

Boltzmann 方程改写为

$$(c h \nu)^{-1} \frac{\partial I_\nu}{\partial t} + (c h \nu)^{-1} c (\vec{l} \cdot \nabla) I_\nu = (h \nu)^{-1} (j_\nu \rho - I_\nu \kappa_\nu \rho)$$

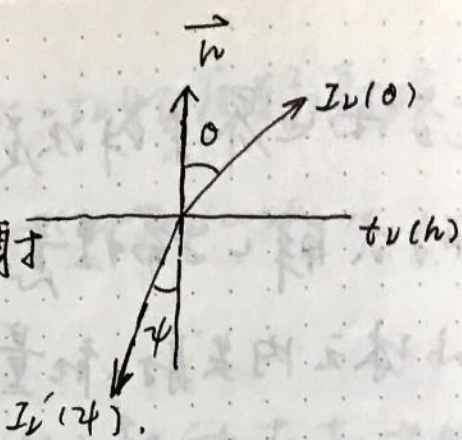
$$\Rightarrow (\vec{l} \cdot \nabla) I_\nu + \frac{1}{c} \frac{\partial I_\nu}{\partial t} = -I_\nu \kappa_\nu \rho + j_\nu \rho$$

$$\Rightarrow \frac{\partial I_\nu}{\partial s} + \frac{1}{c} \frac{\partial I_\nu}{\partial t} = -I_\nu \kappa_\nu \rho + j_\nu \rho$$

辐射转移方程的解
(平行层)

向内辐射 $\theta \in (\frac{\pi}{2}, \pi)$ 向外辐射

$\theta \in (0, \frac{\pi}{2})$ 分开处理.



向外辐射 $I_\nu(\theta, \tau_\nu)$, $\cos\theta > 0$.

向内辐射 $I'_\nu(\psi, \tau_\nu)$, $\psi = \pi - \theta$.

分离成两个方程.

$$\cos\theta \frac{dI_\nu(\theta, \tau_\nu)}{d\tau_\nu} = I_\nu(\theta, \tau_\nu) - S_\nu$$

$$\cos\psi \frac{dI'_\nu(\psi, \tau_\nu)}{d\tau_\nu} = -I'_\nu(\psi, \tau_\nu) + S_\nu$$

向外 $\frac{dI_\nu(\theta, \tau_\nu)}{d\tau_\nu} - I_\nu(\theta, \tau_\nu)/\cos\theta + S_\nu/\cos\theta = 0$

用分部积分化为 $\frac{dY}{dx} + B(x)Y = 0$ 形式.

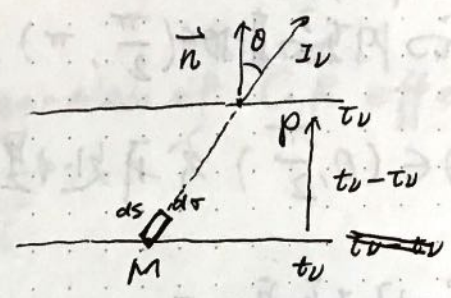
向外辐射, 上限 $x \rightarrow \infty$. 起点 $\tau_{\nu 0} = 0$.

$$I_\nu(\theta, \tau_\nu) = C_\nu e^{\tau_\nu \sec\theta / \cos\theta} + \int_{\tau_{\nu 0}}^{\infty} S_\nu e^{-(\tau_\nu - \tau_\nu') / \cos\theta} / \cos\theta d\tau_\nu'$$

C_{ν} 由边界条件决定; 在介质表面上 $\tau_{\nu} = 0$

形式解 - 物理意义

小体元内发射能量



$$j_{\nu} dm dt d\omega ds dv$$

$$= j_{\nu} \rho ds dt d\omega ds dv$$

$$= \chi_{\nu} S_{\nu} \rho ds dt d\omega ds dv$$

由 $M \rightarrow P$ 过程中逐渐被吸收

$$\rightarrow \chi_{\nu} S_{\nu} \rho ds ds dt d\omega ds e^{-(\tau_{\nu} - \tau_{\nu}) / \cos \theta}$$

$$d\tau_{\nu} = \chi_{\nu} \rho dh = -\chi_{\nu} \rho \cos \theta ds$$

$$0 S_{\nu} (\chi_{\nu} \rho ds \cos \theta)$$

延电线上各点都有相同形式. 总贡献 -> 积分

$$ds dt d\omega ds \int_{\tau_{\nu}}^{\infty} S_{\nu} \frac{-(\tau_{\nu} - \tau_{\nu}) / \cos \theta}{\cos \theta} dtv$$

$$\text{故} \int_{\tau_{\nu}}^{\infty} S_{\nu} \frac{-(\tau_{\nu} - \tau_{\nu}) / \cos \theta}{\cos \theta} dtv$$

是 $\tau_{\nu} > \tau_{\nu}$ 所有物层发射在 τ_{ν} 上的叠加

第一项 $C_\nu e^{\tau_\nu / \cos \theta}$ 表示非 $\tau_\nu > \tau_\nu$ 物质辐射项

$$\text{写作} = \lim_{\tau_\nu \rightarrow \infty} e^{\tau_\nu \sec \theta / \cos \theta} e^{-(\tau_\nu - \tau_\nu) / \cos \theta}$$

↓
由于所有介质已经考察，故只能放在 $\tau_\nu \rightarrow \infty$ 处

无在 $\tau_\nu \rightarrow \infty$ 处，有无穷大辐射 $\lim_{\tau_\nu \rightarrow \infty} C_\nu e^{\tau_\nu / \cos \theta}$

在恒星内部没有这样的发光面， $C_\nu = 0$

故在恒星大气中 $I_\nu(\infty, \tau_\nu) = \int_{\tau_\nu}^{\infty} S_\nu e^{-(\tau_\nu - \tau_\nu) / \cos \theta} / \cos \theta d\tau_\nu$

同样地，对向内辐射

$$I'_\nu(\psi, \tau_\nu) = D_\nu e^{-\tau_\nu / \cos \psi} + \int_0^{\tau_\nu} S_\nu e^{-(\tau_\nu - \tau_\nu) / \cos \psi} / \cos \psi d\tau_\nu$$

↓
从在 $\tau_\nu = 0$ 之外的穿过 $\tau_\nu < \tau_\nu$ 发射的在 τ_ν 的叠加
在 τ_ν 处的辐射

除密近双星（行星、吸积盘）外 $D_\nu = 0$

↓
受主星照射 受亮星照射（外界照射不能忽略）

$S_\nu \sim \nu$? 是否需要 j_ν 与 S_ν ?

局部热动平衡假设.

绝热. 封闭辐射场平衡时.

1. 各点 T 相同.

2. 热辐射强度均匀且各向同性.

$$B_\nu = \frac{2h\nu^3}{c^2} \frac{1}{e^{h\nu/kT} - 1}$$

3. $j_\nu = \chi_\nu B_\nu(T) \leftarrow$ 平衡.

4. 电子速度分布. 原子. 激发与电离. $\sim T$.

(*) Maxwell Distribution / Boltzmann Eq 1.

Saha Eq 描述.

引入温度 T . 描述局部性质

Local Thermodynamics Equilibrium, LTE.

1. 每个 $p \sim T$.

2. p 点邻域. 体元绝热封闭在温度 T 系统中.

3. 对小体元. LTE 准确成立.

$$\angle T \text{ 子 } \bullet \text{ 下 } S_{\nu} = \frac{j_{\nu}}{r_{\nu}} = B_{\nu}(T) \quad (\text{各向同性})$$

$$I_{\nu}(0, \tau_{\nu}) = \int_{\tau_{\nu}}^{\infty} B_{\nu} e^{-(\tau_{\nu} - \tau_{\nu}') / \cos \theta} / \cos \theta d\tau_{\nu}'$$

↓
依然是形式解 $B_{\nu} \sim T \sim \tau_{\nu}$

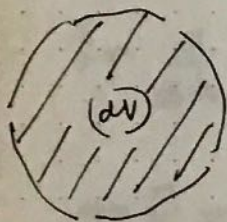
只知道光源也不够, 还希望知道和几何厚度间一关系

源函数可以是任意形式的, 和辐射机制有关.

$T \sim \tau_{\nu} \sim h$?

光球内体元 \Leftrightarrow 周围介质

认为 $E_{-} = E_{+}$ 能量平衡条件



能量转移依靠光子 (辐射场, 对流, 热传导)

忽略

热传导只有在TK

明显.

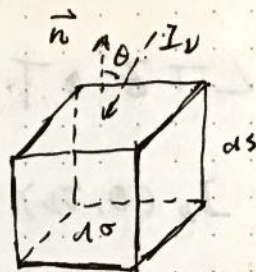
↓
辐射平衡

$$dE_{-} = j_{\nu} d\omega d\mu d\nu$$

$$E_{-} = d\mu \int_0^{\infty} d\nu \int_{4\pi} j_{\nu} d\omega$$

$$I_{\nu} (\cos \theta d\omega) d\omega d\nu$$

穿入体元后波吸收



$$dE_{+} = I_{\nu} (\cos \theta d\omega) d\omega d\nu \chi_{\nu} \rho ds / \cos \theta$$

$$= I_{\nu} \chi_{\nu} \rho d\omega ds d\omega d\nu$$

$$= I_{\nu} \chi_{\nu} d\omega d\omega d\nu$$

$$E_{+} = dm \int_0^{\infty} d\nu \int_{4\pi} I_{\nu} \chi_{\nu} d\omega$$

由 $E_{-} = E_{+}$ 得

$$\int_{4\pi} \frac{I_{\nu} \chi_{\nu}}{4\pi} d\omega = \int_{4\pi} j_{\nu} d\omega = \int_{4\pi} \chi_{\nu} S_{\nu} d\omega$$

$$\uparrow \text{(张磁场?)}$$

$$= \int_{4\pi} \chi_{\nu} B_{\nu} d\omega$$

在 LT 下, 非极化. χ_{ν} 各向同性. B_{ν} 也各向同性故

$$\int_0^{\infty} \frac{d\nu}{4\pi} \int_{4\pi} j_{\nu} d\omega = \int_0^{\infty} \chi_{\nu} B_{\nu} d\nu = \int_0^{\infty} \chi_{\nu} I_{\nu} d\nu$$

辐射平衡下 - 转移方程

$$\cos\theta \frac{dI_\nu}{dh} = I_\nu \chi_\nu \rho - j_\nu \rho.$$

两边乘 $d\omega d\nu$ 对全频率立体角积分.

$$\frac{d}{dh} \iint I_\nu \cos\theta d\omega d\nu = \rho \left(\iint I_\nu \chi_\nu d\omega d\nu - \iint j_\nu d\omega d\nu \right)$$

|| 0 (平衡)

$$\text{考虑总辐射流 } \pi F = \int_0^\infty d\nu \int_{4\pi} I_\nu \cos\theta d\omega.$$

$$\text{即 } \frac{d}{dh} (\pi F) = 0.$$

$$\pi F = \text{const.}$$

(条件: 辐射平衡, 平面平行层, LTE)

必须是全频率. (光电离会改变频率)

单色光, 非平行层大气不满足.

考虑辐射压

对传输方程两边乘 $\cos\theta d\omega/c$ 对立体角积分

$$\frac{1}{c} \frac{d}{dn} \int_{4\pi} I_\nu \cos^2\theta d\omega = \frac{1}{c} \int_{4\pi} (I_\nu \chi_\nu \rho - j\nu\rho) \cos\theta d\omega$$

各向同性 $\frac{\chi_\nu \rho}{c} \int_{4\pi} (I_\nu - S_\nu) \cos\theta d\omega$

"
" B_ν (各向同性)

$$= \frac{\chi_\nu \rho}{c} \int_{4\pi} I_\nu \cos\theta d\omega = \frac{\chi_\nu \rho}{c} \pi F_\nu$$

$$\text{所以 } P_{R,\nu} = \frac{1}{c} \int_{4\pi} I_\nu \cos^2\theta d\omega$$

$$\Rightarrow \frac{d}{dn} P_{R,\nu} = \frac{\pi}{c} \chi_\nu \rho F_\nu$$

$$\text{Def: } \bar{\chi} = \frac{\int_0^\infty \chi_\nu F_\nu d\nu}{\int_0^\infty F_\nu d\nu} = \frac{1}{F} \int_0^\infty \chi_\nu F_\nu d\nu$$

两边对全频率积分

$$\frac{d}{dn} P_R = \frac{\pi}{c} \rho \bar{\chi} F$$

两也同除 $\bar{\chi}_\nu$.

$$\frac{d}{d(\bar{\chi}_\nu dh)} P_R = \frac{\pi}{c} F.$$

Def $d\bar{\tau} = \bar{\chi}_\nu \rho dh$. (对 ν 的平均)

$$\frac{d}{d\bar{\tau}_\nu} P_R = \frac{\pi}{c} F.$$

P_R 是压力. 是随(任何)深度变化的.

温度随深度分布?

χ_ν 由什么控制呢. $\chi_\nu \sim \nu$.

若 χ_ν 与 ν 无关 (灰体), 一级近似. (数值解的初值解)

试探性研究.

$$d\tau_\nu = \chi_\nu \rho dh \Rightarrow d\tau = \chi \rho dh.$$

$$\cos\theta \frac{dI_\nu}{d\tau} = I_\nu(\theta, \tau) - B_\nu(T). \quad \text{对 } \nu \text{ 积分}$$

$$\cos\theta \frac{dI(\theta, \tau)}{d\tau} = I(\theta, \tau) - B(T).$$

$$B(T) = \int_0^\infty B_\nu(T) d\nu.$$

辐射平衡 $\int_0^\infty B_\nu d\nu = \int_0^\infty J_\nu d\nu \equiv J(T)$

||
 $B(T)$
 (Stefan-Boltzmann)

$$S = \int_0^\infty S_\nu d\nu = \int_0^\infty B_\nu(T) d\nu = B(T) = J(T)$$

故有 $\cos\theta \frac{dI(\theta, \tau)}{d\tau} = I(\theta, \tau) - J(\tau)$

$J(\tau)$ 个包含了 $I(\theta, \tau)$ 对 θ 的积分

Eddington 近似. 引入无量纲量

$$J = \frac{1}{4\pi} \int_{4\pi} I(\theta) d\omega$$

总平均辐射强度

$$H = \frac{1}{4\pi} \int_{4\pi} I(\theta) \cos\theta d\omega$$

$$H = \frac{\pi F}{4\pi} = \frac{F}{4}$$

$$K = \frac{1}{4\pi} \int_{4\pi} I(\theta) \cos^2\theta d\omega$$

$$K = \frac{c}{4\pi} \frac{1}{c} \int_{4\pi} \frac{c}{4\pi} P_R$$

1) $\cos\theta d\omega / 4\pi$ 乘两也积分 对立体角积分 $J(\tau)$ 与 (θ, φ) 无关

$$\int_{4\pi} \frac{\cos^2\theta}{4\pi} \frac{d(\theta, \tau)}{d\tau} d\omega = \frac{1}{4\pi} \int_{4\pi} I(\theta, \tau) \cos\theta d\omega - \frac{1}{4\pi} \int_{4\pi} J(\tau) \cos\theta d\omega$$

" 0

$$\text{有 } \frac{dk}{dt} = H = \frac{F}{4}$$

而 πF 与 h 无关, 故与 τ 无关.

$$k = H\tau + C$$

引入第一级近似 (随 τ 而变化缓慢)

* 用两正点代替积分

最近点以

$$I(\theta) = I(\theta_1) + A_1(\theta_0 - \theta_1) + \dots \approx I_1 \approx \frac{1}{2\pi} \int_1 I(\theta) d\omega \text{ 向外}$$

$$I(\theta) = I(\theta_2) + A_2(\theta_0 - \theta_2) + \dots \approx I_2 \approx \frac{1}{2\pi} \int_2 I(\theta) d\omega \text{ 向内}$$

$$J = \frac{1}{2}(I_1 + I_2)$$

$$H = \frac{1}{4\pi} \int_{4\pi} I(\theta) \cos \theta_0 d\omega = \frac{1}{4}(I_1 - I_2)$$

$$K = \frac{1}{3}J$$

外边界条件, $\tau = 0, I_2(\tau = 0) = 0$ (无外光源).

$$H = \frac{1}{4}I_1, J = \frac{1}{2}I_1 \Rightarrow 2H, K = C = \frac{2}{3}H$$

$$\text{故 } K = H\tau + \frac{2}{3}H \Rightarrow J = H(3\tau + 2)$$

由 Stefan-Boltzmann eq.

$$\pi B = \sigma T^4$$

Def 辐射有效温度 $\sigma T_{\text{eff}} = \pi F = \pi B_{\text{eff}}$.

由 $B = J$, $H = \frac{F}{4}$.

$$B = J = H(3\tau + 2) = \frac{F}{4}(3\tau + 2)$$

$$\Rightarrow \frac{\sigma}{\pi} T^4 = \frac{1}{4} \frac{\sigma}{\pi} T_{\text{eff}}^4 (3\tau + 2)$$

$$\Rightarrow T^4 = \frac{1}{4} T_{\text{eff}}^4 (3\tau + 2) \quad (\text{说明不是黑体})$$

$\tau = 0$. 大气表面.

$$T_0^4 = \frac{1}{2} T_{\text{eff}}^4 \Rightarrow T_0 = 0.707 T_{\text{eff}}$$

$$\tau = \frac{2}{3} \quad T = T_{\text{eff}}$$

故 $\tau = \frac{2}{3}$ 是有效层 (对应温度是有效温度相等)

$$I_1 = H(4 + 3\tau)$$

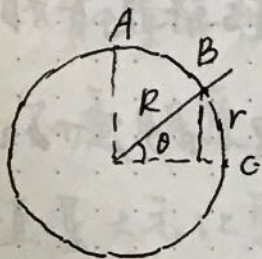
$$I_2 = \cancel{H} 3HT$$

灰大气, 总辐射强度, 总的量.

对单气壳是相应的 J_v, K_v, H_v .

临地昏暗.

日面亮度不均匀 $I_{\text{limb}} \approx 40\% I_{\text{disk}}$



$$C: I_{\nu}(0, 0)$$

$$A: I_{\nu}(\frac{\pi}{2}, 0)$$

$$\sin \theta = \frac{r}{R} \quad \text{求 } I_{\nu}(\theta, 0) \sim \theta$$

灰大气情况下. 向外辐射转移方程形式解.

$$I_{\nu}(\theta, \tau) = \int_{\tau}^{\infty} B_{\nu} e^{-t/\cos \theta} / \cos \theta dt$$

太阳表面 $\tau = 0$

$$I_{\nu}(\theta, 0) = \int_0^{\infty} B_{\nu} e^{-t/\cos \theta} / \cos \theta dt$$

$$= \frac{\int_0^{\infty} B_{\nu} e^{-t/\cos \theta} / \cos \theta dt}{\int_0^{\infty} e^{-t/\cos \theta} / \cos \theta dt}$$

$$\int_0^{\infty} e^{-t/\cos \theta} / \cos \theta dt$$

理解为 B_{ν} 的某种加权平均.

$t/\cos \theta$ 越小. 权重越大. 当 $t/\cos \theta$ 增大到某一数值.

权重 $\rightarrow 0$.

对 τ 和 $\tau / \cos \theta$ 相同的情况下.

θ 越大, 辐射只能来自较小、浅层, 从较深位置出来的辐射无法到达表面.

故 $\theta \uparrow \rightarrow I_{\nu}(0,0) \downarrow$ (星球内层温度与深度正相关, 越深辐射越强). 由 Wien 位移定理 $\theta \uparrow \rightarrow T \downarrow \rightarrow \lambda_{\max} \uparrow$

定量研究, 取灰体, 对 ν 积分

$$I = \int_0^{\infty} B e^{-\tau / \cos \theta} / \cos \theta dt$$

Eddington 近似下 $B = \frac{F}{4} (2 + 3\tau)$

$$I = \frac{F}{2} \left(1 + \frac{3}{2} \cos \theta \right)$$

$$\text{而 } I(0,0) = \frac{F}{2} \left(1 + \frac{3}{2} \cos \theta \right) = \frac{F}{2} \cdot \frac{5}{2}$$

$$I(\theta,0) = \frac{I(0,0)}{5} \left(1 - \frac{3}{5} + \frac{3}{5} \cos \theta \right)$$

$$I\left(\frac{\pi}{2}, 0\right) \approx 0.4 I(0,0)$$

§ 2. 恒星大气的不透明度

O. B. A. F. G. K. M.

一定减弱的连续谱与吸收线, 明显偏离黑体.

Brown Dwarf, 全吸收. (宇宙再电离)

类星体: 宽发射线; 高红移. 短于 Ly 系限全部吸收

① 较宽的范围内连续的. 辐射减弱: 连续吸收

② 谱线范围内: 线吸收.

能量平衡 \rightarrow 连续吸收

不透明度 \rightarrow 辐射吸收能力 $\sim \kappa_{\nu}$

恒星大元化学组成.

大多数与太阳类似.

反常: 晚型星 M 和 K-N 中 C、O 异常.

WR 星 (大质量) C-O 反. N 反的比丰组成差异.

矮星系 (重金属少. 第一代恒星?).

考虑相对比丰组成:

单位体元内原子数 N_1, N_2, \dots

def $a_s = \frac{N_s}{N_1}$ 为相对含量. (一般 N_1 取氢)

$$\alpha_s = \frac{N_s m_s}{N_1 m_1}$$

一般以太阳为标准 (初始).

取 $\log a_s + 12$.

原子结构和能级

电子状态 (n, l, m_l, m_s)

$$n = 1, 2, \dots$$

$$l = 0, \dots, n-1$$

$$m_l = -l, \dots, l$$

$$m_s = -\frac{1}{2}, \frac{1}{2}$$

简并度 $\sum_{l=0}^{n-1} 2(2l+1) = 2n^2 \rightarrow$ 能级统计权重

类氢原子. 不考虑 fine-structure

$$E_n = -R_H hc \frac{Z^2}{n^2}$$

碱金属原子

考虑原子实. 总轨道角动量. 自旋角动量都为 0.

需要考虑原子实的极化与电子的穿透效应

n 相同. 不同的能级不再简并.

(n, l, j, m_j) . 外场不存在 (n, l, j) .

简并度 $2j+1$

多电子原子

$(n_1, l_1, n_2, l_2, \dots)$. 价电子之间也存在相互作用.

LS 耦合与 jj 耦合

LS 耦合 (大多数原子)

自旋相互作用强. 轨道相互作用强.

$$\hat{L} = \hat{L}_1 + \hat{L}_2 \quad S = \hat{S}_1 + \hat{S}_2$$

$$\hat{J} = \hat{L} + \hat{S}$$

能级简并 $2j+1$

JJ 耦合 (高激发态较重原子)

电子自身轨道运动与自旋相互作用强

$$\hat{j}_1 = \hat{l}_1 + \hat{s}_1 \quad \hat{j}_2 = \hat{l}_2 + \hat{s}_2$$

$$\hat{J} = \hat{j}_1 + \hat{j}_2$$

$2s+1$
 L_j 统计权重 $2j+1$

最低能态 - 基态

H $1s^2 S_{1/2}$

Na $3s^2 S_{1/2}$

光致激发. 非弹性碰撞激发.

高能态与低能态碰撞而不辐射. 碰撞降退激发

电子从束缚态变为自由态 \rightarrow 电离 ionization.

自由粒子 + 自由电子 \rightarrow 复合 Recombination

Recombination 一次电离 \rightarrow 级下降一次

中性铁 Fe I. 一次电离铁 Fe II.

基态电离最小能量 \rightarrow 电离电势 χ_r

基态 + $\chi_0 \rightarrow$ 电离一次

$\epsilon_{r,k}$. r 次电离原子的 k 能级激发电势

$$\chi_r = \chi_{r,k} + \epsilon_{r,k}$$

$$h\nu = \chi_r + \frac{1}{2} m v^2$$

原子激发 - Boltzmann 公式

$$\frac{N_k}{N_i} = \frac{g_k}{g_i} e^{-(\epsilon_k - \epsilon_i)\beta}$$

对同一电离级

$$\frac{N_{r,k}}{N_{r,i}} = \frac{g_{r,k}}{g_{r,i}} e^{-(\epsilon_{r,k} - \epsilon_{r,i})\beta}$$

$$\lg \frac{N_{r,k}}{N_{r,i}} = \lg \frac{g_{r,k}}{g_{r,i}} - (\epsilon_{r,k} - \epsilon_{r,i}) \frac{1}{T} \frac{1.9e}{k_B}$$

以 eV 为单位

$$= \lg \frac{g_{r,k}}{g_{r,i}} - (\epsilon_{r,k} - \epsilon_{r,i}) \frac{5040}{T}$$

1 eV - infrared

$$N_r = \sum_i N_{r,i} = N_{r,1} \sum_i \frac{N_{r,i}}{N_{r,1}} = \frac{N_{r,1}}{g_{r,1}} \left(g_{r,1} + g_{r,2} e^{-\epsilon_{r,2}\beta} + \dots \right)$$

Partition Function

$$u_r(T) = \sum_{i=1}^{\infty} g_{r,i} e^{-\epsilon_{r,i}\beta}$$

$$N_r = \frac{N_{r,1}}{g_{r,1}} u_r(T)$$

$$\Rightarrow N_{r,i} = \frac{g_{r,i} N_r}{u_r(T)} e^{-\epsilon_{r,i}\beta}$$

谱线强度 吸收线强度

Saha Eq.

Boltzmann Eq 不能处理已经电离或各与电离级之间的关系

电离原子视为中性原子的连续态

$$\text{电子能量 } \epsilon = \chi_0 + \frac{1}{2m} (p_1^2 + p_2^2 + p_3^2)$$

$$g_c = g_{\dots} (\text{态密度})$$

$$\Sigma \rightarrow \int g_0 \frac{d^3p_x d^3p_y d^3p_z d^3x d^3y d^3z}{h^3}$$

连续态原子 \Leftrightarrow 自由电子

$$\frac{dN_e}{dN_0} = \frac{(g_e N_0 / u_0)}{(g_0 N_0 / u_0)} e^{-\epsilon/k_B T} = \frac{2g_{0,1}}{g_{0,1}} e^{-\chi_0/k_B T} e^{-\beta \sum p^2} \frac{d^3q d^3p}{h^3}$$

对全空间积分

$$\frac{N_e}{N_0} = \frac{2g_{0,1}}{g_{0,1}} \frac{V_0}{h^3} e^{-\chi_0 \beta} \int e^{-\beta \sum p^2} \sin \theta d\theta d\phi d\psi$$

$$= \frac{2g_{0,1}}{g_{0,1}} \frac{4\pi V_0}{h^3} e^{-\chi_0 \beta} \int e^{-\beta \frac{p^2}{2m}} p^2 dp$$

$$= \frac{2g_{0,1}}{g_{0,1}} \frac{(2\pi m e k_B T)^{3/2}}{h^3} V_0 e^{-\chi_0/k_B T}$$

$$\chi \gg V_0 = \frac{1}{N_{1,1}}$$

$$\text{有 } \frac{N_{1,1}}{N_{0,1}} N_e = \frac{2g_{0,1}}{g_{0,1}} \frac{(2\pi m e k_B T)^{3/2}}{h^3} e^{-\chi_0/k_B T}$$

$$\chi \gg N_{r,1} = \frac{g_{r,1} N_r}{u_r(T)}$$

$$\text{有 } \frac{N_1}{N_0} N_e = \frac{2u_1(T)}{u_0(T)} \frac{(2\pi m e k_B T)^{3/2}}{h^3} e^{-\chi_0/k_B T}$$

其中 $N_1 = \sum_i N_{1,i}$ $N_0 = \sum_i N_{0,i}$

利用 $p_e = N_e k_B T$.

$$\frac{N_1}{N_0} p_e = \frac{z_{u_1}(T)}{u_0(T)} \frac{(2\pi m)^{3/2} (k_B T)^{5/2}}{h^3} e^{-\chi_0 / k_B T}$$

同样适用于 $r \rightarrow r+1$ 级电离的情况.

$$\frac{N_{r+1}}{N_r} p_e = k_{r0}(T)$$

当 $-\chi_0 / k_B T \ll 1$ 时, 即 T 很大时, 由 $(k_B T)^{5/2}$ 决定.

原子的电离程度随温度上升而上升.

$T = \text{const}$ ----- 与 p_e 成反比.

为数值计算方便

$$\lg \frac{N_{r+1}}{N_r} = \lg \frac{z_{u_{r+1}}(T)}{u_r(T)} + \frac{5}{2} \lg T - \frac{5040}{T} \chi_r - \lg p_e - \lg \frac{(2\pi m)^{3/2} k^{5/2}}{h^3} \quad (0.48)$$

Partition Function 收敛很快, 可截断.

只有 $\epsilon_{r,i} \leq k_B T$ 的项才值得考虑.

$$\epsilon_{r,i} \leq 2\text{eV} \quad T > 10^4 \text{K}$$

电离度 $\chi_r = \frac{N_r}{N_0 + N_1 + \dots}$

由于电离级差别较大, 一般考虑 $N = N_r + N_{r+1}$.

r 级电离原子电离度 $\chi_{r+1} = \frac{N_{r+1}}{N_r + N_{r+1}}$ 故有 $\frac{\chi_{r+1}}{1 - \chi_{r+1}} p_e = k_{r0}(T)$

原子跃迁概率系数 自发跃迁

$$\nu_{ki} = \epsilon_{ki}/h$$

低能级原子吸收 ν_{ki} 的光量子受激发跃迁

高能级原子受 ν_{ki} 的光子诱导放出 ν_{ki} 光子

无外场. 单位时间一个原子由 $k \rightarrow i$ 放出一个光量子概率为

$$A_{ki} \frac{d\omega}{4\pi}$$

受激发射. 在一个强度为 I_ν 的辐射场作用下, 单位时间内一个原子由 $k \rightarrow i$ 在 $d\omega$ 发射 ν_{ki} 光子的概率为

$$B_{ki} = B_{ki} I_\nu d\omega / 4\pi$$

受激吸收

$$B_{ik} = B_{ik} I_\nu d\omega / 4\pi$$

$$n_{ki} = N_k (A_{ki} + B_{ki} I_\nu) d\omega / 4\pi$$

$$n_{ik} = N_i B_{ik} I_\nu d\omega / 4\pi$$

热平衡下 $n_{ki} = n_{ik}$. 否则会出现 emission line / absorption line.
(细致)

$$N_k (A_{ki} + B_{ki} I_\nu) = N_i B_{ik} I_\nu$$

$$A_{ki} + B_{ki} I_\nu = \frac{N_i}{N_k} B_{ik} I_\nu$$

由 Boltzmann 分布

$$(A_{ki} + B_{ki} I_\nu) = \frac{g_i}{g_k} e^{-(\epsilon_i - \epsilon_k)\beta} B_{ik} I_\nu$$

$$\Rightarrow I_\nu = \frac{A_{ki} / A_{Bki}}{\frac{g_i}{g_k} \frac{B_{ik}}{B_{ki}} e^{-(\epsilon_i - \epsilon_k)\beta} - 1}$$

$T \rightarrow \infty \quad \beta \rightarrow 0 \quad I_\nu \text{ 应该 } \rightarrow \infty$

$$\text{故 } \frac{g_i}{g_k} \frac{B_{ik}}{B_{ki}} = 1$$

$$\Rightarrow g_i B_{ik} = g_k B_{ki}$$

$$\Rightarrow I_\nu = \frac{A_{ki}}{B_{ki}} \frac{1}{e^{-(\epsilon_i - \epsilon_k)\beta} - 1}$$

即 $I_\nu = B_\nu(T)$

$$\Rightarrow \frac{A_{ki}}{B_{ki}} = \frac{2h\nu^3}{c^2}$$

$$\text{即 } A_{ki} = \frac{2h\nu^3}{c^2} B_{ki}$$

若 B_{ki} 由 ω 来定义, 还要乘 $\frac{4\pi}{c}$

* 虽然是在 T 条件下得到上式, 但在 NT 下依然成立 (原子固有性质)

* 对非简并态 (单态) 依然成立

自发发射应该是各向同性的。

受激发射/吸收依赖于外场，不是各向同性的。

把各向同性、异性分开处理。

$$n_{ik}^* = (N_i B_{ik}^o - N_k B_{ki}) I_\nu \frac{d\omega}{4\pi}$$

$$= N_i B_{ik} I_\nu \left(1 - \frac{N_k B_{ki}}{N_i B_{ik}} \right) \frac{d\omega}{4\pi}$$

$$\stackrel{LTZ}{=} N_i B_{ik} I_\nu \left(1 - \frac{N_k g_i}{N_i g_k} \right) \frac{d\omega}{4\pi}$$

$$\frac{n_{ik}^*}{n_{ik}} = 1 - \frac{N_k g_i}{N_i g_k}$$

$$= 1 - \frac{g_k}{g_i} e^{-(\epsilon_k - \epsilon_i)\beta} \frac{g_i}{g_k}$$

$$= 1 - e^{-h\nu_{ik}\beta}$$

吸收与受激吸收的重要性由 $e^{-\frac{h\nu}{k_B T}}$

紫外区 $\frac{h\nu}{k_B T} \gg 1$ $\frac{n_{ik}^*}{n_{ik}} \approx 1$ 可忽略受激吸收。

far infrared / micro-wave 受激吸收相当重要。

连续吸收的来源

光电离

自由电子的自由 \rightarrow 自由跃迁

(由一个自由能量 \rightarrow 另一个自由能量)

分子的离解. 电离. 分子带的吸收.

自由电子 Thomson scattering, 原子的 Rayleigh Scattering

尘埃的吸收和散射

光电离

吸收 $\nu \geq \chi_{r,k}/h$ 的所有光子

连续吸收带. 带头频率 $\nu_k = \chi_{r,k}/h$. 无穷多个的高频

短波延伸 $\chi_{r,k} \downarrow$ 带越长.

H 为例子 Lyman Series $\lambda < 912 \text{ \AA}$

Balmer Series $\lambda < 3646 \text{ \AA}$

Paschen Series $\lambda < 8206 \text{ \AA}$

可见光区 $n \geq 3$.

UV. XR 区域需全部考虑.

尘埃 \sim 次波源. 复折射率 (介电常数)

真吸收和散射.

辐射能 \rightarrow 热能 \rightarrow 其他频率. 任意方向. 辐射.

如光电离. 光子数不守恒

还有自由-自由跃迁.

散射.

不把辐射能转变为热能. 光子数守恒. 改变辐射方向.

分子电离与电离是真吸收过程.

真吸收在 LTE 下. 且满足 Kirchoff Theorem.

散射不满足.

原子吸收系数 (微观).

$$dI_\nu^{(s)} = -I_\nu \chi_\nu^{(s)} ds = -I_\nu \chi_\nu^{(s)} n_s N_s ds.$$

$$\Rightarrow \chi_\nu^{(s)} = \chi_\nu^{(s)} n_s$$

$$\text{则 } dI_\nu^{(s)} = -I_\nu \chi_\nu^{(s)} N_s ds.$$

$$\chi_\nu^{(s)} = \frac{-dI_\nu^{(s)}}{I_\nu N_s ds} \quad \text{以“原子计算”吸收系数}$$

\rightarrow 单位是面积与散射截面同量纲.

核电荷数为 Z 的类氢原子 (电离 $r = Z - 1$ 次)

吸收 $\nu \geq \nu_n$. 发射电离.

$$\text{量子力学给出 } (K\nu)_{r,n} = \frac{32\pi^2 e^6 R_{\infty} Z^4 g_n'}{3\sqrt{3} h^3 n^5}$$

g_n' ~ Gaunt Factor Quantum correction.

$$g_n' = 1 - 0.1728 \left(\frac{\nu}{cR_{\infty} Z^2} \right)^{1/3} \left(\frac{2cR_{\infty} Z^2}{n^2 \nu} - 1 \right) \sim 1$$

$(K\nu)_{r,n}$ 随 $\nu \uparrow$ 而急剧减小.

类氢原子在任一频率上吸收

$$dI_{\nu} = -I_{\nu} N_{r,1} (K\nu)_{bf} dh \quad \left(I_{\nu} \sum_{n=n_0}^{\infty} (K\nu)_{r,n} N_{r,n} dh \right)$$

把所有能态都算到基态上了.

$$(K\nu)_{bf} = \frac{\sum_{n=n_0}^{\infty} (K\nu)_{r,n} N_{r,n}}{N_{r,1}}$$

$$\nu_{n_0} = \frac{\chi_{n_0}}{h} < \nu < \nu_{n_0-1} = \frac{\chi_{n_0-1}}{h}$$

在 LTE 假设下 $\frac{N_{r,n}}{N_{r,1}} = \frac{g_{r,n}}{g_{r,1}} e^{-\frac{E_{r,n}}{k_B T}}$ 类氢原子 $\frac{2n^2}{2} e^{-\frac{E_{r,n}}{k_B T}}$

$$= n^2 e^{-\frac{E_{r,n}}{k_B T}}$$

得 $(K\nu)_{bf} = \frac{32\pi^2 e^6 R_{\infty} Z^4}{3\sqrt{3} h^3 \nu^3} \sum_{n=n_0}^{\infty} \frac{g_{r,n}}{n^3} e^{-\frac{E_{r,n}}{k_B T}}$

$$\epsilon_{r,n} = \chi_r - \chi_{r,n} = h\nu_1 - h\nu_n$$

$$\frac{1}{2} u_1 = \frac{h\nu_1}{k_B T} \quad u_2 = \frac{h\nu_2}{k_B T}$$

$$\frac{\epsilon_{r,n}}{k_B T} = u_1 - u_n$$

$$(k'_{ij})_{bf} = \frac{32\pi^2 e^6 R_{\infty} Z^4}{3\sqrt{3} h^3 \nu^3} e^{-u_1} \sum_{n=u}^{\infty} \frac{g'_n}{n^3} e^{-u_n}$$

取 $\times R_{\infty}$ 有

$$(k'_{ij})_{bf} = \frac{64\pi^4 e^{10} m_e Z^4}{3\sqrt{3} ch^3 k_B^3 T^3} \frac{1}{u^3} e^{-u} \sum_{n=u}^{\infty} \frac{g'_n}{n^3} e^{-u_n}$$

$$u = \frac{h\nu}{k_B T}$$

$$\rightarrow \epsilon_n \sim \frac{1}{n^2}$$

有限求和 + 积分 $\Delta \epsilon_n \sim \frac{1}{n^3}$

前4项? $g'_n \approx 1$

$$= \sum_{n=u}^{u+4} \frac{e^{-un}}{n^3} - \frac{1}{2} \int_5^{\infty} e^{-un} d\left(\frac{1}{n^2}\right)$$

$$= \sum_{n=u}^{u+4} \frac{e^{-un}}{n^3} - \frac{1}{2} \int_5^{\infty} e^{-un} d\left(\frac{un}{u}\right)$$

$$= \sum_{n=u}^{u+4} \frac{e^{-un}}{n^3} + \frac{1}{2u} (e^{-u5} - 1)$$

以 $r+1$ 次电离原子计算

$$dI_{\nu} = -I_{\nu} N_{r+1} (k'_{ij})_{bf} d\lambda \left(-I_{\nu} N_{r+1} (k'_{ij})_{bf} d\lambda \right)$$

$$(k'_{\nu})_{b-f} = (k'_{\nu})_{b-f} \frac{N_{r,1}}{N_{r+1}}$$

由 Saha 2q.

$$\frac{N_{r+1}}{N_r} p_e = \frac{\sum u_{r+1}(T)}{u_r(T)} \frac{(2\pi m_e)^{3/2} (k_B T)^{5/2}}{h^3} e^{-\chi_r / k_B T}$$

Boltzmann Eq.
$$N_r = \frac{N_{r,1}}{g_{r,1}} u_r(T)$$

Eq.

$$u_{r+1} = 1 \quad (\text{氢原子})$$

↓

$$(k'_{\nu})_{b-f} = p_e \frac{C_0 Z^2 T^{-3/2}}{\nu^3} \left[\frac{2hc R_{\infty} Z^2}{k_B T} \sum_{n=m}^{\infty} \frac{g_n}{n^3} e^{-\frac{hc R_{\infty} Z^2}{n^2 k_B T}} \right]$$

以 $r+1$ 次电离原子计算氢原子自由-自由跃迁过程

$$(k'_{\nu})_{f-f} = \frac{C_0 Z^2 p_e}{T^{3/2} \nu^3 g''}$$

← 电子密度表现

↓ 非束缚态 电子能量表现成温度

$$g'' = 1 + 0.1728 \left(\frac{\nu}{c R_{\infty} Z^2} \right)^{1/2} \left(1 + \frac{2k_B T}{h\nu} \right) \sim 1$$

总吸收系数

$$(k'_{\nu})_{b-f} + (k'_{\nu})_{f-f}$$

设 $r+1$ 次电离原子电离度为 X_{r+1} . 以 $r+1$ 原子计算的吸收系数

$$k'_{\nu} = X_{r+1} [(k'_{\nu})_{b-f} + (k'_{\nu})_{f-f}]$$

把反吸收考虑在内(受激发射)

$$\frac{n_{i \rightarrow k}^*}{n_{i-k}} = 1 - e^{-\frac{h\nu_{ik}}{k_B T}}$$

推广到连续态

$$k_{\nu} = k'_{\nu} \left(1 - e^{-\frac{h\nu}{k_B T}} \right)$$

相应的质量吸收系数 $-I_{\nu} \rho \chi_{\nu} d\nu = -I_{\nu} N_Z k_{\nu} d\nu$

$$\chi_{\nu} = \frac{N_Z}{\rho} k_{\nu} = \frac{k_{\nu}}{m_Z}$$

Z 元素原子质量

$$= X_{r+1} \frac{C_0 Z^2 \rho_e}{T^{3/2} \nu^3 m_Z} \left\{ \frac{2hcR_{\infty} Z^2}{k_B T} \sum_{n=\infty}^{\infty} \frac{g_n}{n^3} e^{-\frac{hcR_{\infty} Z^2 / n^2 k_B T + g_n}{k_B T}} \right\}$$

$(1 - e^{-\frac{h\nu}{k_B T}})$

以 $\sim T^3$ 为条件 B.A. 下光谱型恒星大气中, 中性氢的吸收起重要作用

O 型星 $T \approx 2 \times 10^4$ K. 氢高度电离

自由电子散射. 中性原子的 Rayleigh 散射.

$$\text{散射截面 } S = \frac{8\pi}{3} \left(\frac{e^2}{mec^2} \right)^2 \frac{\omega^4}{(\omega - \omega_0)^2 + \gamma^2 \omega^2}.$$

↳ 散射阻尼

$\omega \gg \omega_0$. (自由电子)

$\omega_0 = 0$, $\gamma \ll \omega$ (散射中衰减可忽略).

⇒ Thomson Scattering.

$$S_e = \frac{8\pi}{3} \left(\frac{e^2}{mec^2} \right)^2 = \frac{8\pi}{3} r_e^2 = 6.65 \times 10^{-25} \text{ cm}^2$$

$$\sigma_e = \frac{S_e}{\omega p} = 0.40 \text{ cm}^2/\text{g}.$$

↓
以质量定义的. 假设里的是全电离. H.

自由电子可散射各波段.
同等

对束缚电子. $\omega_0 \rightarrow$ 束缚能. 低能光子. Rayleigh 散射.

对应 $\omega \ll \omega_0$.

$$S = \frac{8\pi}{3} \left(\frac{e^2}{mec^2} \right)^2 \left(\frac{\omega}{\omega_0} \right)^4.$$

中性 H

$$\lambda_0 = \frac{c}{\nu_0} = \frac{2\pi c}{\omega_0} = 1026 \text{ \AA}.$$

$$S_H = S_e \left(\frac{1026 \text{ \AA}}{\lambda} \right)^4$$

波越短，散射概率越大。

适用于 $\lambda \gg \lambda_0$ 。

晚型星（地球大气中，温度低）Rayleigh 散射比较强。

$S_e \rightarrow$ 5 粒子。

$$\chi_0 = \frac{S_e N_e}{\rho} = \frac{S_e}{m_p}$$

散射不是热辐射（Kirchoff 定理无效）

也不存在反吸收。

负氢离子、其他原子、分子和尘埃的连续吸收

中性 H + 电子

从 A₀-F₂ 型星开始，直到光谱型更晚的恒星大气中，H⁻ 的吸收起重要作用。

主要表现：H 的 Balmer 跳跃 $D = 2.5 \lg \frac{F_{3646}^+}{F_{3646}^-}$

从 B₀ → A₀ 增大。（电离增加）

从 A₀ 开始，D 与 D 随 T 而不同。

B-F

H⁻ 与 He I 类似，核 + 2e⁻

束流轻松散，易电离，T > 8000 K，几乎不存在（O 型星中无）

$$H^- + h\nu = e^- + H, \quad \frac{1}{2} m_e v_e^2 = h\nu - 0.75 \text{ eV}$$

F-F

$$H + e + h\nu = H + e'$$

$$\frac{1}{2} m_e v_e^2 = \frac{1}{2} m_e v_{e'}^2 + h\nu$$

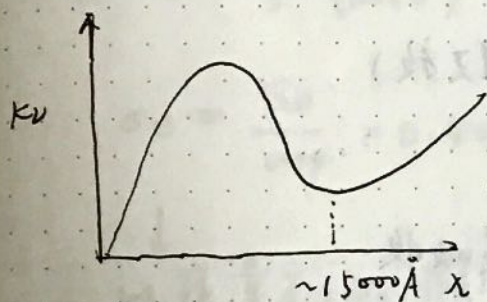
B-F: 0.75 eV 带头波 $\sim 16500 \text{ \AA}$

在 8500 \AA 有极大吸收

在 15000 \AA 处 B-F 与 F-F 相等

F-F 吸收系数的主波区增大 在 infrared 区起作用

总吸收系数



将 H^- 的贡献等效到 H 上

需要 $\frac{N(H^-)}{N(H)}$ (LTE, Saha Eq) $\sim T, p_e$

$$\begin{cases} u(H) = 2 \\ u(H^-) = 1 \end{cases}$$

氢的其他离子

H_2^+ $\left\{ \begin{array}{l} \text{光致电离 低温外界紫外} \\ \text{中性H与电离H结合 } n \propto n_H n_p \end{array} \right.$

H_2^+ 吸收峰值为 $\sim 1100 \text{ \AA}$ $\circ H$ 中 e^- 与 H^+ 作用增加电离

1100 Å 处于 Balmer 系内. 紫外区有贡献.

$\lambda > 4000 \text{ \AA}$, H_2^+ 吸收作用不如 H^- .

对 H_2^- (氢分子负离子).

$$n(H_2^-) \propto n_H n_{H^-}$$

相对低的环境. 低结合能.

晚型星. (M型等) 金属提供自由电子.

F-F 吸收在红外区比较重要.

B-F 跃迁可以忽略. (结合能低).

(LT区下. 束缚态电子少).

H_2^- 的 F-F 吸收峰比 H^- 在 16500 Å 的峰小.

He 的吸收.

中性 He. 电离 He. He^- 等等.

He II 是类氢原子. 由于 $k_{b-f} \propto Z^4$. $k_{f-t} \propto Z^2$.

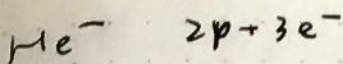
$$\text{故 } k_{b-f}(He^+) = 16 k_{b-f}(H) \quad k_{f-t}(He^+) = 4 k_{f-t}(H)$$

O 型星主要吸收源

由于有自旋单态与自旋态. 只能对各个能带分别计算.

连续吸收带头波长 504 Å. UV 区. T ~ B 型星.

↑
基态电离电势.



B-F 不重要. 结合能低.

F-F 吸收在冷星的长波区重要.

金属原子 \rightarrow 紫外区.

分子吸收. 离解过程服从 Saha 的 Eq. 晚型星.

密集, 湍流 \Rightarrow 吸收态谱.

分子离解, 电离.

尘埃的吸收. (晚型星, AGN).

真吸收, 散射.

$$Q_{\text{abs}}, Q_{\text{scat}}$$

\downarrow
几何截面.

与折射率 n 有关.

$$dI_{\nu} = -I_{\nu} N a_{\nu} d(Q_{\text{abs}} + Q_{\text{scat}}) dh.$$

总吸收系数

$$dI_{\nu} = \sum_s dI_{\nu}^{(s)} = -I_{\nu} dh \sum_s N_s k_{\nu}^{(s)}$$

使用相对含量

$$= -I_{\nu} dh N_1 \sum_{s \neq 1} a_s k_{\nu}^{(s)}$$

$$\text{令 } k_{\nu} = \sum_{s \neq 1} a_s k_{\nu}^{(s)}$$

$$= -I_{\nu} k_{\nu} N_1 dh.$$

\rightarrow 所有原子考虑在内. 以 1 氢原子计算. 有效吸收系数.

$$\Rightarrow \chi_{\nu} = \frac{\sum N_s K_{\nu}^{(s)}}{\rho} = N \frac{N_i K_{\nu}}{\rho}$$

分子和尘埃项

各种光谱型恒星大气辐射的吸收

① 光谱区

② 给定光谱区 $\chi_{\nu} = \sum N_s K_{\nu}^{(s)} / \rho$ 中的主要成分

\Rightarrow 主要吸收源

分子 K.M.N.R 晚型星

T 较低; 吸收在 Infrared & Optical 可见

H^- 中性 H 与 自由电子

晚型星有 \odot 大量中性 H. 但自由电子不足 (金属太少)

早 K 型 分子吸收 \downarrow 自由电子 \uparrow H^- 成为主要贡献

太阳 (G2V). H^- 的作用是根本性的

T 再次增高. H^- 离解. H 贡献 \uparrow

A0 中 H^- 作用很小

White Dwarf n_e 很大 H^- 作用需考虑

H 晚型星中H大多处于基态. Lyman限外, 斥 FUV. 忽略
太阳. 紫外.

A0-B2. 中性H贡献明显.

He. 电离电势 $24.858\text{eV} \sim 3 \times 10^4\text{K}$. O型~B2型. 远紫外区
太阳. 远紫外很弱.

中性金属原子. 低电离电势. 晚型星大气中需考虑.

太阳. 紫色. 紫外需考虑.

自由电子散射.

O-B2. T 较高. B2-A0型星 $\rho_{\text{e-}}$. 电离度较高. 能够提供更多

自由电子.

O-B型星. 主序星中温度最高的恒星 ($T \geq 2.5 \times 10^4\text{K}$).

$M \sim 20-60 M_{\odot}$

绝大部分H已电离. He II 也有一部分.

主要是自由电子散射 (与 μ 无关).

O-B2. ($1.1 \times 10^4 \sim 2.5 \times 10^4\text{K}$) 中性 He 的光电吸收.

B2型晚的B型星. H 的光电吸收变得重要.

紫外. 金属 B-F. F-F.

A0-F5 型星 A0 9800K F 6000-7300K

A0 中性 H 起决定作用, H_2^+ 也起一定作用

A0 → 晚 H⁻ 不透明度增加. 晚 A-F H⁻ 吸收起决定作用

F 型星 H_2 重要.

A 型: 连续吸收 + $H\alpha$, $H\beta$, $H\gamma$.

F5-G 型星 F5 6600K G 5200-6000K

H⁻ 不透明度仍占约 60%.

分子的吸收仍不明显.

金属不透明度在紫外区重要

氢 H 光电吸收逐渐减弱 (激发态丰度 ↓)

中性 H 的 Rayleigh Scattering 在短波不可忽略.

(* Photoionization ↓ Scattering ↑)

K-M 晚型星.

K 3500K ~ 5150K. M-T 3800K M ~ 0.3 M_{\odot} ≈ \bar{M}

$\frac{dN}{dM_*} \propto M_*^{-\alpha} \quad \alpha \sim 2.37$. initial Mass Function

主要是分子能级跃迁 (在红端占红外, 不同谱线重叠)

H_2 分子的 Rayleigh Scattering.

分子的离解 ~ 红外.

晚型星 - 尘埃包层.

非灰大气辐射平衡理论的一般解法

辐射平衡. 能量平衡

恒星大气的物理结构.

$$\cos \theta \frac{dI}{dt} = I_{\nu} - S_{\nu}$$

真吸收.

非灰大气问题的有效方法是逐次近似解.

用等价灰大气代替灰大气

构造一个灰大气. 引入某种对频率加权的平均吸收系数 $\bar{\chi}$ 来代替

χ_{ν} . 由 $\bar{\chi}$ 定义等效灰大气

$W_{\nu}(p, \tau)$ 是归一化权重函数.

$$\bar{\chi} = \int_0^{\infty} W_{\nu}(p, \tau) \chi_{\nu}(p, \tau) d\nu$$

Rosseland 平均

引入单量

$$J_{\nu} = \frac{1}{4\pi} \int_{4\pi} I_{\nu}(\theta) d\omega$$

$$H_{\nu} = \frac{1}{4\pi} \int_{4\pi} I_{\nu}(\theta) \cos \theta d\omega = \frac{1}{4} F_{\nu}$$

$$K_{\nu} = \frac{1}{4\pi} \int_{4\pi} I_{\nu}(\theta) \cos^2 \theta d\omega = \frac{c}{4\pi} P_{R, \nu}$$

类似于 Zaidington) 近似.

以 $\frac{\cos \theta d\omega}{4\pi}$ 乘方程两端

$$\cos\theta \frac{dI_\nu(\theta, \tau_\nu)}{d\tau_\nu} = I_\nu - B_\nu \quad \text{对方向的积分}$$

$$\Rightarrow \frac{dK_\nu}{d\tau_\nu} = H_\nu = \frac{1}{4} F_\nu$$

$$\Rightarrow \frac{dK_\nu}{\chi_\nu dh} = \frac{1}{4} F_\nu$$

$$\Rightarrow \int_0^\infty \frac{1}{\chi_\nu} \frac{dK_\nu}{dh} d\nu = \frac{\rho}{4} F$$

灰大元. 辐射平衡. $\frac{1}{\chi \rho} \frac{dK}{dh} = \frac{\pi}{c} F$

↓

$$\frac{1}{\chi \rho} \frac{4\pi}{c} \frac{dK}{dh} = \frac{\pi}{c} F \Rightarrow \frac{1}{\chi} \frac{dK}{dh} = \frac{\rho}{4} F$$

$$\Rightarrow \frac{1}{\chi} \frac{dK}{dh} = \int_0^\infty \frac{1}{\chi_\nu} \frac{dK_\nu}{dh} d\nu$$

保证等价灰大元与非灰大元总辐射流相同

而 K_ν 与 χ_ν 都未知?

辐射场近似各向同性. $J_\nu \approx B_\nu$

← 平均辐射强度

$$K_\nu = \frac{J_\nu}{3} = \frac{B_\nu}{3}$$

$$\frac{1}{\chi} \frac{dB}{dh} = \int_0^\infty \frac{1}{\chi_\nu} \frac{dB_\nu}{dh} d\nu$$

$$\frac{1}{\chi_R} = \int_0^\infty \frac{1}{\chi_\nu} \frac{dB_\nu}{dT} \frac{dT}{dh} d\nu \bigg/ \left(\frac{dB}{dT} \frac{dT}{dh} \right)$$

$$\frac{1}{\bar{\chi}_c} = \int_0^\infty \frac{1}{\chi_\nu} \frac{dB_\nu}{dT} d\nu / \frac{dB}{dT}$$

由 Planck 函数给出加权函数

Chandrasekhar 平均

如果实际大气与灰大气偏离不大 即 $\frac{d\chi_\nu}{dT} \ll 1$

$$\bar{\chi}_c = \frac{1}{F} \int_0^\infty \chi_\nu F_\nu^{(1)} d\nu$$

↓
给定的等价灰大气单色辐射流

Eddington 近似给出

$$T^4 = \frac{3}{4} T_{\text{eff}}^4 \left(\tau + \frac{2}{3} \right) \quad (\text{辐射分解成内向外两部分})$$

按角度平均分成 $2n$ 束 $\cos \theta \frac{dI}{d\tau} = I - J$

每束先仅是 τ_0 的函数 I_ν 随方向的变化用多项式展开

$$\text{考虑到 } J = \frac{1}{4\pi} \int I d\omega$$

Gauss 证明 只要 $2n$ 个方向 θ_i ($i=1, \dots, 2n$) 满足

$$P_{2n}(\cos \theta_i) = 0 \quad \text{方向积分} \Rightarrow \text{求和}$$

$n \rightarrow \infty$ 灰大气的精确解

结论形式与 Eddington 近似相近

$$T^4 = \frac{3}{4} T_{\text{eff}}^4 (\tau + q(\tau)) \quad q(\tau) \in [0.577, 0.7104] \text{ 且单调}$$

$$\frac{T}{T_{\text{eff}}} = \left\{ \frac{3}{4} [\tau + q(\tau)] \right\}^{1/4} = f(\tau).$$

有了温度分布，LTE假设

$$S_{\nu}^{(1)}(\tau) = B_{\nu}^{(1)}(\tau) = \frac{2h\nu^3}{c^2} \left[e^{u/f(\tau)} - 1 \right]^{-1}$$

$$u = \frac{h\nu}{k_B T_{\text{eff}}}$$

向外形式解 $I_{\nu}^{(1)}(\theta, \tau) = \int_{\tau}^{\infty} B_{\nu}^{(1)} e^{-(\tau-t) \sec \theta} \sec \theta dt$

$$I_{\nu}^{(1)}(\theta, \tau) = \int_0^{\tau} B_{\nu}^{(1)} e^{-(\tau-t) \sec \theta} \sec \theta dt$$

$$F_{\nu}^{(1)} = \frac{1}{4\pi} \int_{4\pi} I_{\nu}^{(1)} \cos \theta d\omega$$

轴对称 $\frac{2\pi}{\pi} \int_{0 \leq \theta \leq \pi/2} I_{\nu}^{(1)} \cos \theta \sin \theta d\theta - \frac{2\pi}{\pi} \int_{0 \leq \psi \leq \pi/2} I_{\nu}^{(1)} \cos \psi \sin \psi d\psi$

$$= -2 \int_{\tau}^{\infty} \int_0^{\pi/2} B_{\nu}^{(1)}(t) e^{-(\tau-t) \sec \theta} \sec \theta \cos \theta d\theta dt + 2 \int_0^{\tau} \int_0^{\pi/2} B_{\nu}^{(1)}(t) e^{-(\tau-t) \sec \psi} \sec \psi \cos \psi d\psi dt$$

$\mu = \cos \theta$
 $= 2$

$$= \Phi_{\tau} \{ B_{\nu}^{(1)}(t) \}$$

$$\Phi_{\nu}(f_{\nu}(t)) = 2 \int_t^{\infty} f_{\nu}(t) \epsilon_2(t-t) dt - 2 \int_0^t f_{\nu}(t) \epsilon_2(t-t) dt.$$

代回 $\bar{\chi}_c = \frac{1}{F} \int_0^{\infty} \chi_{\nu} F_{\nu}^{(1)} d\nu$. 保证总辐射不变.

Planck 平均.

以 Planck 函数为归一权重 保证发射 = 吸收

$$\bar{\chi}_p = \frac{1}{B} \int_0^{\infty} \chi_{\nu} B_{\nu} d\nu$$

在得到不同的 $\bar{\chi}$ 后用 $\bar{\chi}(p_e, T)$ 构造等价灰元.

$$\tau = \int_0^{\infty} \bar{\chi} \rho dh. \quad T \sim h \text{ 分布由 Eddington / Chandrasekhar 给出.}$$

$$\tau_{\nu} = \int_0^{\tau_{\nu}} d\tau_{\nu} = \int_0^{\infty} \chi_{\nu} \rho dh = \int_0^h \frac{\chi_{\nu}}{\bar{\chi}} \rho dh = \int_0^{\tau} \frac{\chi_{\nu}}{\bar{\chi}} dt$$

$\chi_{\nu} / \bar{\chi}$ 是 p_e, T 和 ν 的函数. 有 $p_e \sim T$.

可得 $\frac{\chi_{\nu}}{\bar{\chi}} = \tau \sim \tau_{\nu} \Rightarrow T \sim \tau_{\nu} \Rightarrow B_{\nu} \sim (\tau_{\nu})$.

代回形式解得到 $I_{\nu}^{\circ}(0, \tau_{\nu}), I_{\nu}^{\prime}(0, \tau_{\nu})$.

$$\pi F_{\nu} = \int_{4\pi} I_{\nu} \cos \theta d\omega.$$

$$\pi F = \int_{4\pi} F_{\nu} d\nu$$

但 $F \neq \text{const.}$

逐次修正 求新的温度分布 使 T 在所有深度上等于 σT_{eff}^4

Stroemgren 方法.

$$\text{由 } B(\tau) = \frac{3}{4} F [t + q(\tau)] \quad \text{与 } \pi B = \sigma T^4 \quad \pi F = \sigma T_{\text{eff}}^4$$

$$\cancel{B(\tau)} =$$

$$\Rightarrow \frac{T}{T_{\text{eff}}} = \left[\frac{B_{\nu}^{(1)}(\tau)}{F} \right]$$

再次积分计算 $J_{\nu}^{(1)} = \int_0^{\infty} B_{\nu}^{(1)}(\tau) d\tau$

$$\int_0^{\infty} f(\tau) E_1(|t-\tau|) d\tau$$

$$\int_0^{\infty} \chi_{\nu} B_{\nu}^{(2)}(\tau) d\tau = \int_0^{\infty} \chi_{\nu} J_{\nu}^{(1)}(\tau) d\tau$$

(改变 T 与 τ 的关系)

$$J_{\nu}^{(2)} = \int_0^{\infty} B_{\nu}^{(2)}(\tau) d\tau$$

不断迭代 在小光深的情况下收敛很快.

温索德方法.

$$\text{与 Chandrasekhar 类似 } F_{\nu}^{(1)}(\tau) = \int_0^{\infty} B_{\nu}^{(1)}(\tau) d\tau$$

在任意深度上对全角度积分 $\pi F^{(1)}$. 但与给定的 πF 有偏差.

$$\Delta F = F - F^{(1)}$$

找出新的温度分布, 使 $\Delta F \rightarrow 0$.

(修正 ΔB)

对 $\cos\theta \frac{dI_\nu}{d\tau_\nu} = I_\nu - S_\nu$ 的两端乘 $\frac{d\omega}{4\pi}$ 假定 $\bar{x} = \bar{x}_\nu$

$d\tau_\nu = d\tau$ 对 ν 和 Ω 积分

$$\Rightarrow \frac{1}{4} \frac{dF}{d\tau} = J - B.$$

$$\text{故 } \Delta B = \Delta J - \frac{1}{4} \frac{d\Delta F}{d\tau}.$$

ΔF 已知, 下求 ΔJ .

Zadlington 积分 T .

$$\frac{dP_R}{d\tau} = \text{const.} = \frac{4\pi}{c} \frac{dK}{d\tau} = \frac{\Delta\pi}{c} F = \frac{4\pi}{c} H.$$

$$\begin{aligned} \text{而 } K &= \frac{1}{4\pi} \int_{4\pi} I(\theta) \cos^2\theta d\omega = \frac{J}{4\pi} \int \cos^2\theta \sin\theta d\theta d\phi \\ &= \frac{1}{3} J. \end{aligned}$$

$$\therefore \frac{1}{3} \frac{dJ}{d\tau} = \frac{1}{4} F \Rightarrow \frac{d\Delta J}{d\tau} = \frac{3}{4} F.$$

$$\Rightarrow \Delta J = \frac{3}{4} \int_0^{\tau} \Delta F dt + (\Delta J)_{\tau=0}.$$

$\tau=0$ 时, Zadlington 积分

$$J = 2H \Rightarrow \frac{3}{4} \Delta J = 2\Delta H.$$

$$\Delta J = \frac{3}{4} \int_0^{\tau} \Delta F dt + \frac{(\Delta F)_{\tau=0}}{2} \neq 0.$$

再将 ΔJ 代回 $\Delta B = \Delta J - \frac{1}{4} \frac{d\Delta F}{d\tau}$

$$\text{有 } \Delta B = \frac{3}{4} \int_0^T \Delta F dt + \frac{(\Delta F)_{t=0}}{2} - \frac{1}{4} \frac{d\Delta F}{dt}$$

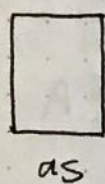
在光球深度大处有比较好的结果

对太阳可以从临地昏暗定出温度分布

计算恒星大气模型

有效温度, 表面重力加速度, 恒星化学组成

假定流体静力学平衡, 能量守恒 (辐射)



dh

as

$g \rho dndas$ 重力 ↓

$dP_g ds$ 大气压 ↑

$dP_r as$ 辐射压 ↑

由辐射转移方程

$$\cos \theta \frac{dI_\nu}{dh} = I_\nu \chi_\nu \rho - j_\nu \rho$$

两边乘 $\cos \theta d\omega/c$ 对全方向积分

$$dP_r = \frac{\pi \rho dh}{c} \int_{4\pi} \chi_\nu F_\nu d\nu$$

$$\text{由 } g \rho dndas = dP_g ds + dP_r as$$

$$\Rightarrow \frac{g}{\chi} = \frac{dP_g}{dt} + \frac{dP_r}{dt} \Rightarrow \frac{dP_g}{dt} = \frac{g}{\chi} - \frac{\sigma T_{\text{eff}}^4}{c}$$

非 O. B 星, 辐射压不重要, 用有效温度代表

$$\frac{dP_r}{dt} = \frac{\pi}{c} \int_0^\infty \chi_\nu F_\nu d\nu = \frac{\pi}{c} \bar{\chi} F$$

由于光电离截面远小于 Thomson 散射截面，
能量交换主要考虑自由电子散射。

Eddington 极限：引力与辐射压平衡。

$$L = 1.25 \times 10^{38} \text{ m/Me}$$

$$L/L_{\odot} = \left(\frac{T}{T_{\odot}}\right)^4 \quad \text{故对太阳不重要，对 O 型星来说比较重要。}$$

采用逐次近似的方法解方程。

$T(\tau)$ 关系。 (T, p_e, p_g) 2 关系。

$$N_e^{(s)} = \sum_r r N_r^{(s)} = f(a_s N^{(1)}, T, p_e)$$

由谱线观测给出。

$$N_e = \sum_s \sum_r r N_r^{(s)}$$

$$= N_e = N_e(N^{(1)}, T, p_e) \quad \left. \vphantom{N_e} \right\} N^{(1)}, N_e \text{ 两个未知数。}$$

$$\text{而 } p_e = N_e k_B T$$

$$N_e(N^{(1)}, T, p_e) = \frac{p_e}{k_B T}$$

$$p_g = p_e + \sum_b a_b N^{(1)} k_B T$$

由方程积分 $\Rightarrow p_g(\tau)$

$p_g(\tau)$ 代入 (T, p_e, p_g) 关系 $\Rightarrow p_e(\tau)$

$$\Rightarrow N^{(1)}(\tau)$$

$$\Rightarrow \text{密度分布 } \rho = \sum_s a_s N^{(1)}(\tau)$$

由 $\tau = \int \frac{h}{\lambda} \rho dn \Rightarrow$ 轻比为线深度变化。

计算 πF_{ν} 与 πF . 用类似方法迭代求解.

得到新的温度分布 $\Rightarrow \log p_e \cdot \rho \sim h \Rightarrow$ 新的温度分布

好的模型: 总辐流, 常数性, 与观测符合^色温度
与 Balmer 跳跃.

也不一定在谱线上有很好的对应.

还要比较温敏谱线的强度比检验调整物理量分布

O型星 He II / He I

A型星的大气模型

中性 H 吸收占主导.

辐射压忽略不计.

电子散射忽略不计.

A3型恒星 $T_{\text{eff}} = 8900 \text{ K}$. H 处于部分电离 H^+ , H, H^- , H^+

都有贡献.

He 处于基态

表面 $\log g \approx 3.5$.

$$\log A \equiv \log (N_{\text{H}} / N - N_{\text{H}}) = 3.8$$

$$\chi_{\nu} = \chi_{\nu}(\text{H}) + \chi_{\nu}(\text{H}^+) + \chi_{\nu}(\text{H}^-).$$

取 Rosseland 平均

$$\frac{1}{\bar{\chi}} = \int_0^\infty \frac{1}{\chi_\nu} \frac{dB_\nu}{dT} d\nu / \int_0^\infty \frac{dB_\nu}{dT} d\nu \quad \bar{\chi} = \bar{\chi}(p_e, T)$$

将 (p_e, p_g, T) 的关系引入 $\bar{\chi}(p_e, T)$ 得到 $\bar{\chi}(p_g, T)$.

忽略辐射压

$$\frac{dp_g}{dT} = \frac{g}{\bar{\chi}(p_g, T)}$$

第一近似下 $(H)^{'''} = (H)_c^{'''} \left\{ \frac{3}{4} (T + q(\tau)) \right\}^{-1/4} \quad (H)^{'''} = \frac{5040}{T^{(1)}} (H)_c = \frac{5040}{T_{\text{eff}}}$

Eddington 近似 $q(\tau) = \frac{2}{3}$

有积分得 $p_g^{'''}(\tau)$.

进而得到 $p_e^{'''}(\tau), \rho^{'''}(\tau), \bar{\chi}^{'''}(\tau)$.

算辐射流

$$F_\nu^{'''}(\tau_\nu) = \Phi_{\tau_\nu} \{ S_\nu(\tau_\nu) \} = \Phi_{\tau_\nu} \{ B_\nu(\tau_\nu) \}$$

$$F^{'''} = \int_0^\infty F_\nu^{'''}(\tau_\nu) d\nu$$

根据 F 是常数 由 $\Delta F(\tau) = \frac{5 T_{\text{eff}}^4}{\pi} - F^{'''}(\tau)$

$$\text{设 } \delta \Delta T \text{ 且 } \delta \Delta (H) \Rightarrow (H)^{'''} = (H)^{'''} + \delta (H)$$

将 $(H)^{'''} \text{ 重新引入 } \frac{dp_g}{dT} = \frac{g}{\bar{\chi}(p_g, T)}$

最终可以计算色温度。

Balmer 跳跃. 利用 F_{ν} 可以判断在界限附近 F_{ν} 的突变

$$D = \log(F_{3647+}/F_{3647-}) \approx 0.61$$

但理论计算的 Balmer 跳跃比观测略大。

O-B 型星.

free electron. H. He.

He 大多数处于基态 He I. 基态 He 产生的吸收带在 $\lambda < 504 \text{ \AA}$

只有在 $T > 3 \times 10^4 \text{ K}$ 时, He II 吸收重要.

$$d\tau_{\nu} = (\chi_{\nu} + \sigma_e) \rho dh.$$

χ_{ν} H. He, 真吸收与反吸收.

仅由 H 组成的恒星大气.

$$\sigma_e = \frac{N_e S_e}{\rho} = \left(\frac{N_H X_H}{N_H m_H} \right) S_e = \frac{X_H}{m_H} S_e.$$

考虑丰度后乘一系数

辐射转移方程中既包含真吸收又包含散射

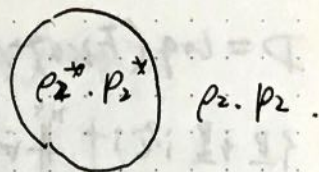
辐射反不能忽略.

等效重力加速度.

不同光深用不同迭代方法.

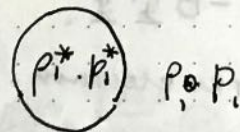
对流、辐射平衡中没有考虑对流和传导(在光球不重要)
 但是对流在晚型星中仍不可忽略
 (F.G).

巨星大气的扰动



M. Schwarzschild 辐射平衡稳定判据 dr 扰动

初始 $p_1^* = p_1, p_1^* = p_1$



扰动短暂, 无能量交换.

\Rightarrow Adiabatic expansion.

$\Rightarrow p_2^* \rightarrow p_2$

什么情况下能回到原位.

$p_2^* = p_1^* (p_2^* / p_1^*)^{1/\gamma}, \quad \gamma = c_p / c_v.$

$= p_1 (p_2 / p_1)^{1/\gamma} \quad (\text{Adiabatic} \Rightarrow \text{isentropy})$

若 $p_2^* > p_2$, 则会落回原位, 做阻尼振荡, 扰动被耗散.

辐射平衡成立, 把压力和密度做 Taylor 展开

$p_1 \left(\frac{p_2}{p_1} \right)^{1/\gamma} > p_2, \quad p_1 \left(1 + \frac{1}{p_1} \left(\frac{dp}{dr} \right)_1 dr \right)^{1/\gamma} \Rightarrow p_2 + \left(\frac{dp}{dr} \right)_1 dr.$

$\Rightarrow \frac{1}{\gamma p} \frac{dp}{dr} > \frac{1}{p} \frac{dp}{dr}$

$\Rightarrow p = n k_B T = \frac{\rho k_B T}{\mu m_H}$

$$\ln p = \ln \rho + \ln T + \text{const.}$$

$$\frac{1}{p} \frac{dp}{dr} = \frac{1}{\rho} \frac{d\rho}{dr} + \frac{1}{T} \frac{dT}{dr}$$

消去 ρ .

$$\frac{1}{r p} \frac{dp}{dr} > \frac{1}{p} \frac{dp}{dr} - \frac{1}{T} \frac{dT}{dr}$$

Bubble $\frac{p}{\rho}$ 环境 $\frac{p}{\rho}$

↑ ↑

$$-\left(1 - \frac{1}{r}\right) \frac{T}{p} \frac{dp}{dr} > -\frac{dT}{dr} \quad \left(\frac{dp}{dr}, \frac{dT}{dr} < 0\right)$$

Adiabatic $\Rightarrow p \propto T^{r/r-1}$

$$\text{左边} \left(\frac{dT}{dr}\right)_R \quad \text{右边} \left(\frac{dT}{dr}\right)_A$$

$$\Rightarrow \left(\frac{dT}{dr}\right)_A > \left(\frac{dT}{dr}\right)_R$$

即 绝热膨胀体元温度变化比周围辐射平衡建立之温度变化快

$$\Rightarrow \left(1 - \frac{1}{r}\right) > \frac{d \ln T}{d \ln p}$$

$$\nabla_A \equiv \left(\frac{d \ln T}{d \ln p}\right)_A = \frac{r-1}{r} \quad \nabla_R \equiv \left(\frac{d \ln T}{d \ln p}\right)_R$$

$$\Rightarrow \nabla_A > \nabla_R$$

||
0.4

若 μ 不是常数 (介度不均匀)

平衡条件 $\nabla_R < \nabla_A + \frac{d\mu}{d\rho}$ ($\frac{d\mu}{d\rho} < 0$, 故有这一项更易产生对流)

多原子气体 $\gamma \rightarrow 1$ (接近于等温)

则只需 $\nabla_R > 0$ (随便就满足了)

大量子的热星, 对流易产生

电离态的变化 $\Rightarrow \mu$ 变化 \Rightarrow 对流易产生

电子与质子复合 \rightarrow 能量释放 \rightarrow 对流易产生

辐射压 $\gamma = 4/3$ $\nabla_A = 0.25$

各种光谱型大恒星中的对流区

极早光谱型, 只有在 $\text{He I} \rightarrow \text{He II}$ 处有对流带

A型星, 浅光深 $\tau \approx 2$ 处 H 电离

F型星, 比 A 更深, 更厚 F2-F5 对流起相当重要作用

晚型星, 对流带更深, M型几乎全对流

能量的对流转移

对流减小温度梯度 \Rightarrow 辐射流 \downarrow

$$\pi F = \pi F_{\text{rad}} + \pi F_{\text{conv}} = \sigma T_{\text{eff}}^4$$

(辐射流不再随光深不变)

唯象理论: 混合程理论

平均流体元经过 l 消失. 温度梯度 \downarrow

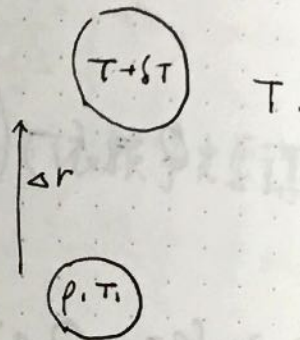
$$\text{对流元梯度 } \nabla_z = \left(\frac{d \ln T}{d \ln p} \right)_z$$

$$\nabla_R \geq \nabla \geq \nabla_z \geq \nabla_A$$

对流转移的辐射流

混合放能 $\rho c_p \bar{v} \delta T$

$$\pi F_{\text{conv}} = \rho c_p \bar{v} \delta T = \rho c_p \bar{v} \left[\left(-\frac{dT}{dr} \right) \right. \\ \left. - \left(-\frac{dT}{dr} \right)_z \right] \Delta r$$



$$\text{取 } \Delta r = \frac{l}{2}$$

$$\text{由流体静力学 } \frac{dp}{dr} = -\rho g$$

$$\text{引入压力标高 } H = -\frac{p}{(\rho k / dr)} = -\left(\frac{d \ln p}{dr} \right)^{-1} = \frac{p}{\rho g}$$

$$\nabla = \left(\frac{d \ln T}{d \ln p} \right) = -\frac{H}{T} \frac{dT}{dr} \Rightarrow -\frac{dT}{dr} = \frac{T}{H} \nabla$$

代入原方程

$$\pi F_{conv} = \rho c_p \bar{v} \left[\frac{T}{H} v - \frac{T}{H} v_z \right] \frac{l}{2}$$

$$= \frac{1}{2} \rho c_p \bar{v} T (v - v_z) \frac{l}{H}$$

平均速度：令浮力做功 = 单元获得动能。

$$f_b = -g \delta \rho$$

因理想气体方程 $d \ln p = d \ln \rho - d \ln T + d \ln \mu$.

$$= d \ln \rho - Q d \ln \mu$$

$$Q = 1 - \left(\frac{\partial \ln \mu}{\partial \ln T} \right)_p$$

$$\delta p = 0 \Rightarrow \delta \rho = -Q \rho \delta T / T$$

$$f_b = -g \delta \rho = g Q \rho \frac{\delta T}{T} = \frac{g Q \rho}{H} (v - v_z) \Delta r \quad (\text{线性})$$

$$\bar{W} = \int_0^{\frac{l}{2}} f_b \alpha (\Delta r) = \frac{g Q \rho}{H} (v - v_z) \int_0^{\frac{l}{2}} (\Delta r) \alpha dr$$

近似认为不变

$$= \frac{g Q \rho}{H} (v - v_z) \frac{l^2}{4}$$

所做功一半用于推动邻近单元，一半用于提供动能。

$$\frac{1}{2} \rho \bar{v}^2 = \frac{1}{2} \bar{W}$$

$$\Rightarrow \bar{v} = \left(\frac{g \alpha H}{8} \right)^{1/2} (\Delta T - \Delta T_E)^{1/2} \left(\frac{L}{H} \right)$$

$$\pi F_{conv} = \left(\frac{g \alpha H}{32} \right)^{1/2} (\rho c_p T) (\Delta T - \Delta T_E)^{3/2} \left(\frac{L}{H} \right)^2$$

但混合程又未知. 假设 $l = nH$, $n=1, 2, \dots$ 模拟 \Leftrightarrow 对流

对流效率参数.

对流瓦解. 多余能量 $\propto \Delta T - \Delta T_E$

辐射换热 $\propto \Delta T_E - \Delta T_A$. (依赖于光厚薄)

$$\xi \equiv \frac{\Delta T - \Delta T_E}{\Delta T_E - \Delta T_A}$$

光厚薄极限

$$\Delta T_R = 4\pi j_e \rho - 4\pi \bar{\chi} B = 4\pi \rho \bar{\chi} (B_E - B) = 4\pi \rho \bar{\chi} \Delta B$$

$$\xi_{thin} = \frac{\rho c_p \bar{v}}{8 \sigma T^3} \frac{1}{\tau_l}$$

光厚厚极限.

统一: $\xi = \frac{\rho c_p \bar{v}}{\delta \sigma T^3} \frac{(1 + \frac{1}{2} \tau_L^2)}{\tau_L}$ 对 $\tau_L \approx 1$ 情况

对流的大气模型更加复杂

1. 初始的温度分布

2. ~~FSM~~ FSDM 计算 $\rho g \cdot PR$

3. 计算 ∇R 与 ∇A . 根据 Schwarzschild 稳定判据确定对流存在

4. 有对流 \Rightarrow 能量守恒代替辐射平衡

太阳型恒星的 τ_L 模型

利用临地昏暗 $\frac{I_\lambda(\theta, 0)}{I_\lambda(0, 0)} = A_\lambda + B_\lambda \cos \theta + D_\lambda \cos^2 \theta$

由 RTZ 形式解 $I_\lambda(\theta, 0) = \int_0^\infty B_\lambda e^{-\tau_\lambda \sec \theta} \sec \theta d\tau_\lambda$

$\rho_\lambda(0) = \frac{I_\lambda(\theta, 0)}{I_\lambda(0, 0)} = \int_0^\infty \frac{B_\lambda(\tau)}{I_\lambda(0, 0)} e^{-\tau \sec \theta} \sec \theta d\tau_\lambda$ (积分收敛)

对 $\frac{B_\lambda(\tau)}{I_\lambda(0, 0)}$ Taylor 展开 $a_\lambda + c_\lambda \tau_\lambda + d_\lambda \tau_\lambda^2 + \dots$

积分得到 $a_\lambda + c_\lambda \cos \theta \tau_\lambda + \frac{1}{2} d_\lambda \cos^2 \theta \tau_\lambda^2 + \dots$

$\therefore \frac{B_\lambda(\tau)}{I_\lambda(0, 0)} = \frac{a_\lambda + c_\lambda \tau_\lambda + \frac{1}{2} d_\lambda \tau_\lambda^2}{A_\lambda + C_\lambda \tau_\lambda + \frac{1}{2} D_\lambda \tau_\lambda^2}$

$\Rightarrow T \sim \tau_\lambda$ 分布关系

类太阳型恒星 $T_{\text{eff}} = T_0(\nu) \cdot \frac{T_{\text{eff}}}{T_{0\text{eff}}}$

晚型恒星大气模型. 讨论吸收对 Opacity 的贡献.
对流与能量平衡.

作业 1.2.3.

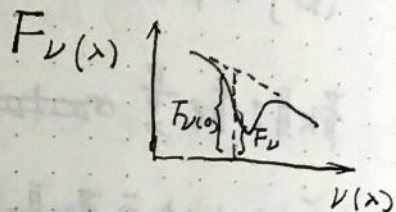
吸收线内的辐射转移.

大元元素丰度.

吸收线线 RTZ.

吸收线的参数. ($\frac{\Delta\lambda}{\lambda} \ll 1$)

剩余强度 $r_\nu(\nu)$



$$r_\nu = \frac{I_\nu(\theta)}{I_\nu^0(\theta)} \quad \text{或} \quad \frac{F_\nu}{F_{\nu 0}} \quad \text{吸收线内 } r_\nu < 1 \quad \text{连续谱 } r_\nu = 1$$

线心 $\nu = \nu_0$. 中心剩余强度.

$r_\nu \sim \nu \Rightarrow$ 谱线轮廓. 线心线翼

线深度 $R_\nu = 1 - r_\nu (I_\nu(\nu_0) / F_{\nu 0})$.

总吸收 W_ν (轮廓与背景包围的面积).

连续光谱减弱的总量.

等值宽度. 用矩形代替总吸收得到的矩形宽度.

数值上与 W_ν , W_λ 相等. 一般以 \AA 给出.

f_{WMW}

吸收线产生机制

连续选择吸收

选择真吸收与选择散射

如果由 $j \rightarrow k$ 与其他原子碰撞轻比为热能 } 真吸收
由 $j \rightarrow k$ 再吸收光子电离 \Rightarrow 热能

由 $j \rightarrow k$ 再由 $k \rightarrow j$ 放出光子 选择散射

由 $j \rightarrow k$ 由 $k \rightarrow i$ 通过链效应不同谱线的能量交换

$$\text{散射能量 } \sigma_{\nu} J_{\nu} = 4\pi \sigma_{\nu} J_{\nu} = \sigma_{\nu} \int_{4\pi} I_{\nu}(\theta) d\omega$$

相干散射单位立体角散射能量 $\sigma_{\nu} J_{\nu}$

吸收线 RTZ

连续, 选择 + 真吸收, 散射

$$\cos \theta \frac{dI_{\nu}(\theta, h)}{dh} = \text{吸收} - \text{辐射}$$

$$= \text{连续真吸收} + \text{连续散} + \text{选真} + \text{选散}$$

$$- \text{连续辐} - \text{连续散辐} - \text{选辐} - \text{选散辐}$$

吸收线内认为连续吸收系数为常量

连续真吸收 χ 连续散射 σ .

连续选择真吸收 $\chi_\nu = \epsilon_\nu \omega_\nu$

(即与机制相同) \uparrow 总的选择吸收系数

选择散射 $\sigma_\nu = \omega_\nu - \chi_\nu = (1 - \epsilon_\nu) \omega_\nu$

连续真 $I_\nu \chi_\nu$

连续辐 $\chi_\nu B_\nu(T)$

连续散 $I_\nu \sigma_\nu$

连续散辐 $\sigma_\nu J_\nu(h)$

连续真 $I_\nu \chi_\nu \rho = I_\nu \epsilon_\nu \omega_\nu \rho$

连续辐 $\chi_\nu B_\nu(T) = \epsilon_\nu \omega_\nu \rho B_\nu(T)$

连续散 $I_\nu \sigma_\nu \rho = I_\nu (1 - \epsilon_\nu) \omega_\nu \rho$

连续散辐 $\sigma_\nu \rho J_\nu(h) = (1 - \epsilon_\nu) \omega_\nu \rho J_\nu(h)$

线回 RTE. 有

$$\cos \theta \frac{dI_\nu(\theta, h)}{dh} = [(\chi + \sigma + \chi_\nu + \sigma_\nu) I_\nu] + [-(\sigma + \sigma_\nu) J_\nu - (\chi + \chi_\nu) B_\nu]$$

$$= [(\chi + \sigma + \omega_\nu) I_\nu] - \sigma J_\nu - (1 - \epsilon_\nu) \omega_\nu J_\nu - \chi B_\nu - \epsilon_\nu \omega_\nu B_\nu$$

非 0.B. $\sigma \Rightarrow 0$. 有

$$\cos \theta \frac{dI_{\nu}}{dh} = (\chi + \epsilon_{\nu}) I_{\nu} - (1 - \epsilon_{\nu}) I_{\nu} J_{\nu} - \chi B_{\nu} - \epsilon_{\nu} \nu B_{\nu}$$

当 σ 需要考意时, 大量原子已电离很少停留在能级上, 吸收线很弱.

两个 Assumption ① 相干散射.

② 无关联林效应.

(近似当作真吸收处理)

求解 RTE. 需知 ν , ϵ_{ν} 与 h 的关系

② B_{ν} 与 ρ 与 h 的关系

在不涉及 ν , ϵ_{ν} 的具体形式下, 求解 RTE.

反变层模型 (连续谱, 吸收线形成区分离).

Schuster / Schwarzschild 模型. 谱线 (产生于较外层)

对 ν/ρ 随恒星表面快速增加. 恒星 S-S 模型有较近似的

吸收在星球上的冷的大气形成的.

$\tau=0$ 处连续谱辐射强度随 θ 的关系.

$$B_{\nu}(T) \stackrel{\text{Taylor 展开}}{\approx} B_{\nu}(T_0) (1 + \beta_0 \tau)$$

\downarrow
 $T=0$ 的温度

小频率范围内 ν 是 ν 出来的.

$$\beta_0 = \frac{1}{B_{\nu}(T_0)} \left(\frac{dB_{\nu}}{dT} \right) \Big|_{T=T_0} = \frac{1}{B_{\nu}(T_0)} \frac{dB_{\nu}}{dT} \frac{dT}{d\tau} \frac{d\tau}{dt}$$

利用 Eddington 近似下 $T^4 = \frac{T_{\text{eff}}^4}{2} (1 + \frac{3}{2} \tau)$

$$\text{代入得 } \beta_0 = \frac{3}{8} \left(\frac{\chi}{\chi} \right)_{T=0} \frac{\alpha}{1 - e^{-\alpha}} \quad \alpha = \frac{h\nu}{k_B T}$$

两束 $\frac{d\omega}{4\pi}$ 对全角度积分.

$$\frac{d}{d\tau\nu} (\pi F\nu) = 0.$$

单色 辐射流 ~~的积分~~ ~~为常数~~ 不随光源变化.

向外 I_ν . 向内 I'_ν . (类似 Edington 函数).

考虑向外.

$$\frac{d}{d\tau\nu} \int_{2\pi} \frac{dI_\nu}{d\omega} I_\nu \cos\theta d\omega = \int_{2\pi} I_\nu \frac{d\omega}{2\pi} - J_\nu \int_{2\pi} \frac{d\omega}{2\pi}.$$

$$\frac{dI_\nu}{d\tau\nu} \langle \cos\theta \rangle = I_\nu - J_\nu.$$

$$\frac{1}{2} \langle \cos\theta \rangle = a.$$

$$a \frac{dI_\nu}{d\tau\nu} = I_\nu - J_\nu. \quad \theta \in (0, \frac{\pi}{2})$$

$$\text{向内 } a \frac{dI'_\nu}{d\tau\nu} = -I'_\nu + J_\nu \quad \psi \in (0, \frac{\pi}{2})$$

$$a? \Rightarrow \text{两式相加} \Rightarrow a \frac{d(I_\nu + I'_\nu)}{d\tau\nu} = (I_\nu - I'_\nu).$$

代入连续谱 RTZ 形式解.

$$I_{\nu} = \int_{\tau}^{\infty} B_{\nu} e^{-(t-\tau) \sec \theta} \sec \theta dt$$

代入 B_{ν} 的展开式.

$$\begin{aligned} I_{\nu}^{\circ}(\theta) &= \int_0^{\infty} B_{\nu}(T_0) (1 + \beta_0 t) e^{-t \sec \theta} \sec \theta dt. \\ &= B_{\nu}(T_0) (1 + \beta_0 \cos \theta). \end{aligned}$$

$$\theta = 0, \quad I_{\nu}^{\circ}(\theta) = B_{\nu}(T_0) (1 + \beta_0).$$

$$\text{故 } \frac{I_{\nu}^{\circ}(\theta)}{I_{\nu}^{\circ}(0)} = \frac{(1 + \beta_0 \cos \theta)}{1 + \beta_0} \quad (\text{反变层表面}).$$

若反变层只有 ~~有~~ 纯散射. (全部跳回原能级).

$$\chi = 0, \quad \sigma = 0, \quad \chi_{\nu} = 0.$$

RTZ:

$$\cos \theta \frac{dI_{\nu}(\theta, h)}{\rho dh} = \sigma_{\nu} I_{\nu}(\theta, h) - \sigma_{\nu} J_{\nu}(h).$$

引入散射光学深度 $\tau_{\nu} = \sigma_{\nu} \rho dh.$

辐射阻尼与阻尼线的自然线宽.

$$dI_\nu = -I_\nu a_\nu N_j dh.$$

能量 $\int_{4\pi} dI_\nu = 4\pi N_j a_\nu J_\nu d\nu.$

总能量 $4\pi N_j \int a_\nu J_\nu d\nu.$

谱线宽 $= 4\pi N_j J_\nu \int a_\nu d\nu.$

与 ~~Zieman Stimulated Emission~~ 吸收概率 概率比较.

$$4\pi N_j J_\nu \int a_\nu d\nu = N_j B_{jk} J_\nu h\nu_{jk}.$$

$$\Rightarrow \int a_\nu d\nu = \frac{h\nu_{jk}}{4\pi} B_{jk}.$$

辐射阻尼使一维谐振子不再发出简谐波.

$$z(t) = z_0 e^{-\gamma_0 t/2} e^{-i\omega_0 t} = \int_{-\infty}^{\infty} \tilde{z}(\omega) e^{-i\omega t} d\omega.$$

$$\tilde{z}(\omega) \propto \int_{-\infty}^{\infty} z(t) e^{i\omega t} dt = \int_0^{\infty} z(t) e^{-i\omega t} dt$$

$$\propto \int_0^{\infty} e^{-\dots} dt$$

$$\propto -1 / (i(\omega - \omega_0) - \gamma_0/2)$$

$$k\omega = \tilde{z}(\omega) \tilde{z}^*(\omega) = \frac{4\pi e^2}{mc} \frac{\gamma_0}{4(\omega - \omega_0)^2 + \gamma_0^2}.$$

$$k_{\nu} = \frac{e^2}{mec} \frac{\gamma_0 / 4\pi}{(\nu - \nu_0)^2 + (\gamma_0 / 4\pi)^2}$$

$$\gamma_0 = \frac{8\pi^2 e^2 \nu_0^2}{3mec^3}$$

可见 $\nu \sim 10^{15} \text{ Hz}$. $\gamma_0 \sim 10^8 \text{ Hz}$

在 $|\nu - \nu_0| < \gamma_0$ 内有吸收.

换算到波长 $\gamma_0 = \frac{d\lambda}{d\nu} \Delta\nu = 1.18 \times 10^{-4} \text{ \AA}$.

自然线宽.

$$\nu = \nu_0 + \gamma_0 \Rightarrow k_{\nu} = \frac{k_{\nu_0}}{2}$$

在线翼. 分母上的 γ_0 可忽略.

$$k_{\nu} / k_{\omega} \propto \frac{1}{(\Delta\omega)^2}$$

一个振子的吸收系数 \Rightarrow 一个谱线的吸收系数.

$$N_{\text{振}} \cdot k_{\nu} = N_{\text{原}} \cdot a_{\nu}$$

$$a_{\nu} = \frac{e^2}{mec} \frac{\gamma_0}{4\pi} \frac{f_{jk}}{(\nu - \nu_0)^2 + (\gamma_0 / 4\pi)^2}$$

← 振子强度

利用 $\int a_{\nu} d\nu = \frac{h\nu_{jk}}{4\pi} B_{jk}$

延拓到 $\pm\infty$,

$$\int a_{\nu} d\nu = \frac{e^2}{m_e c} f_{jk} \int_{-\infty}^{\infty} \frac{\gamma_0 / 4\pi}{(\nu - \nu_0)^2 + (\gamma_0 / 4\pi)^2} d(\nu - \nu_0)$$
$$= \frac{\pi e^2}{m_e c} f_{jk}$$

$$\Rightarrow f_{jk} = \frac{m_e c h \nu_{jk}}{4\pi^2 e^2} B_{jk}.$$

考虑 Spontaneous Emission. $\nu \rightarrow \nu'$

$$\frac{dN_k / dt}{N_k} = - \sum_{j=1}^{k-1} \int_{4\pi} A_{kj} \frac{d\omega}{4\pi}$$

~~$\pm / \text{...}$~~

$$\Rightarrow \frac{dN_k}{dt} = -N_k \sum_{j=1}^{k-1} A_{kj}$$

$$N_k = N_k^0 \exp\left\{ \left(- \sum_{j=1}^{k-1} A_{kj} \right) t \right\}$$

\downarrow
固有特性.

$$N_k = N_k^0 \exp(-\gamma_k t)$$

平均停留时间.

$$\tau_k \equiv \frac{\int t dN_k}{\int dN_k} = \frac{1}{\gamma_k}$$

处于辐射场内.

$$\frac{dN_k}{dt} = - \sum_{j=1}^{k-1} \int_{4\pi} A_{jk} \frac{d\omega}{4\pi} - \sum_{j=1}^{k+1} \left(B_{kj} I_{\nu kj} \frac{d\omega}{4\pi} \right. \\ \left. - \sum_{i=k+1}^{\infty} \int_{4\pi} B_{ki} I_{\nu ki} \frac{d\omega}{4\pi} - R_{kf} \right)$$

$$\Rightarrow \frac{dN_k}{dt} = - \sum_{j=1}^{k-1} A_{kj} - \sum_{j=1}^{k-1} B_{kj} J_{\nu kj} - \sum_{i=k+1}^{\infty} B_{ki} I_{\nu ki} - R_{kf}$$

$$\Rightarrow \gamma_k = \frac{1}{\tau_k} = \sum_{j=1}^{k-1} A_{kj} + \sum_{j=1}^{k-1} B_{kj} J_{\nu kj} + \sum_{i=k+1}^{\infty} B_{ki} I_{\nu ki} \\ + R_{kf}$$

忽略外场 发现依激发态寿命短. 能级宽.

$$W_k(z) dz = \frac{\gamma_k}{h} \frac{dz}{\left(\frac{2\pi}{h}\right)^2 (z - z_k)^2 + \left(\frac{\gamma_k}{2}\right)^2}$$

跃迁概率

$$W_j(z') W_k(z) dz' dz$$

$$= \frac{dz' dz}{\left[\left(\frac{2\pi}{h}\right)^2 (z' - z_j)^2 + \left(\frac{\gamma_j}{2}\right)^2 \right] \left[\left(\frac{2\pi}{h}\right)^2 (z - z_k)^2 + \left(\frac{\gamma_k}{2}\right)^2 \right]} \cdot \frac{\gamma_j \gamma_k}{h^2}$$

$$P(\nu) d\nu = \int_{-\infty}^{\infty} W_j(z') W_k(z) d(z' - z_j) dz$$

$$\frac{1}{2} a = \frac{h\gamma_j}{4\pi} \quad b = \frac{h\gamma_k}{4\pi}$$

$$= \frac{h d\nu}{\pi} \cdot \frac{a+b}{(z_j - z_k + h\nu)^2 + (a+b)^2}$$

$$= \frac{d\nu}{\pi} \frac{\frac{\gamma_j + \gamma_k}{4\pi}}{(\nu - \nu_{jk})^2 + \left(\frac{\gamma_j + \gamma_k}{4\pi}\right)^2}$$

$$a\nu \propto P(\nu) \quad \Rightarrow \int A P(\nu) d\nu = \frac{\pi e^2}{mec} f_{jk}$$

$$\Rightarrow A = \frac{\pi e^2}{mec} f_{jk}$$

$$\Rightarrow a\nu = \frac{e^2}{mec} \frac{\gamma}{4\pi} \frac{f_{jk}}{(\nu - \nu_{jk})^2 + \left(\frac{\gamma}{4\pi}\right)^2}$$

$$\gamma = \gamma_j + \gamma_k$$

两能级的联合线宽.

$$\text{考虑碰撞 } \gamma = \gamma_j + \gamma_k + \gamma_e.$$

微观 Doppler 展宽.

随机运动.

热运动 湍流. 纵向速度 ζ .

$$v - v_{jk} = \frac{\zeta}{c} v_{jk}.$$

$$a_\nu d\nu \propto dn/n.$$

取 x 轴为纵向.

$$\frac{dn}{n} = \frac{1}{\sqrt{\pi}} e^{-(\zeta/\zeta_0)^2} \frac{d\zeta}{\zeta_0}$$

$$\zeta_0^2 = \frac{2kBT}{\mu_{MH}}$$

微湍动: 湍动源尺度小于光子自由程.

则 Maxwell 分布仍可用于湍动. (非相关).

$$\zeta = v_x + \zeta_t$$

$$\text{形式不变 } \frac{dn}{n} = \frac{1}{\sqrt{\pi}} e^{-(\zeta/\zeta_0)^2} \frac{d\zeta}{\zeta_0}$$

$$\zeta_D^2 = \frac{2kBT}{\mu_{MH}} + \zeta_t^2$$

$$a_\nu d\nu = A \frac{dn}{n}.$$

$$|v - v_{jk}| = \frac{v}{c} v_{jk}$$

$$dv = d(\Delta v) = \frac{v_{jk}}{c} d\zeta$$

$$\int \frac{\Delta v_D}{v_{jk}} = \frac{\zeta_D}{c} \leftarrow \text{多少公里/秒的宽度}$$

$$\Rightarrow a_\nu d\nu = \frac{A}{\sqrt{\pi}} e^{-\left(\frac{\nu - \nu_{jk}}{\Delta \nu_D}\right)^2} \frac{d\nu}{\nu_D} \quad \text{且} \int a_\nu d\nu = \frac{\pi e^2}{m_e c} f_{jk}$$

$$\Rightarrow a_\nu = \frac{\sqrt{\pi} e^2}{m_e c} \frac{f_{jk}}{\Delta \nu_D} e^{-\left(\frac{\nu - \nu_{jk}}{\Delta \nu_D}\right)^2}$$

Gauss 形的谱线. 下降与 $e^{-\left(\frac{\nu - \nu_{jk}}{\Delta \nu_D}\right)^2}$ 成正比. 比辐射射阻尼下降快.

$$|\nu - \nu_{jk}| = \Delta \nu_D \quad a_\nu \text{ 变为 } e^{-1}$$

$$FWHM = 2\sqrt{\ln 2} \Delta \nu_D. \text{ 半高宽度.}$$

经典辐射阻尼展宽 $\gamma_0 = 10^{-4} \text{ \AA}$.

$H\alpha$ 线半高全宽 $\Delta \lambda_D \approx 0.2 \text{ \AA}$

观测上 Doppler 致宽 ~~主要~~ 占主导.

如果谱线分布不是 Maxwell 分布. 合成速^度分布规

律由 $\Phi(\zeta)$ 对热运动速度分布进行卷积.

Doppler 效应 { 谱线致宽. 等值宽度 \uparrow
 { 增加对辐射总吸收.

宏观 Doppler 效应

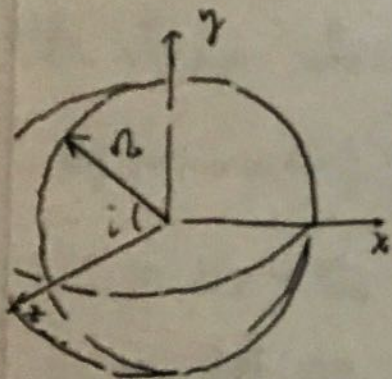
大气宏观运动. 自转.

运动元尺度远大于光子自由程 (Optical thick).
(光子独立的).

不同运动元有不同的线向速度. 吸收不同的线.
总谱线轮廓是各谱线轮廓的线性叠加.

不影响总吸收.

自转



$$\vec{R} = R (\sin i \hat{e}_y + \cos i \hat{e}_z)$$

$$\vec{v}_z = \left(\vec{\Omega} \times \vec{R} \right)_z$$
$$= -\chi R \sin i$$

$$= -\frac{\chi}{R} v_{eq} \sin i$$

$$\Delta \lambda = -\frac{\lambda}{c} v_z = \frac{\lambda}{c} v_{eq} \chi \sin i \quad (\text{取 } R=1)$$

$I_{\beta}(\lambda - \lambda_0)$ 是点 (x, y) 沿视线方向的辐射强度.

$I_{\beta}^0(\lambda)$ 是连续谱强度

$$dE_\lambda = I_\beta(\lambda - \lambda_0) dx dy d\lambda \Delta\omega.$$

連続譜 $dE_\lambda = I_\beta^0(\lambda) dx dy d\lambda \Delta\omega$

$$R_\lambda = 1 - r_\lambda = \frac{\iint [I_\beta^0(\lambda) - I_\beta(\lambda - \lambda_0)] dx dy}{\iint I_\beta^0(\lambda) dx dy}.$$

$$= \frac{\iint R_\beta(\lambda - \lambda_0) I_\beta^0(\lambda) dx dy}{\iint I_\beta^0(\lambda) dx dy}.$$

$$R_\beta(\lambda - \lambda_0) = I_\beta^0(\lambda) - I_\beta(\lambda - \lambda_0) / I_\beta^0(\lambda)$$

若 R_β 与 β 无关.

$$R_\lambda = \frac{\iint R(\lambda - \lambda_0) I_\beta^0(\lambda) dx dy}{\iint I_\beta^0(\lambda) dx dy}.$$

若考虑全部昏暗

$$R_\lambda = \frac{\iint R(\lambda - \lambda_0) I_n^0(\lambda) \mathcal{G}(\lambda, \beta) dx dy}{\iint I_n^0(\lambda) \mathcal{G}(\lambda, \beta) dx dy}.$$

$$\mathcal{G}(\lambda, \beta) = 1 - u_\lambda + u_\lambda \cos \beta.$$

$$R_\lambda = \frac{\int_{-1}^1 dx \int_{-(1-x^2)^{1/2}}^{(1-x^2)^{1/2}} R\left[\lambda - \lambda_0 \left(1 + x \frac{v_{eg} \sin i}{c}\right)\right] \mathcal{G}(\lambda, \beta) dx dy}{\int_{-1}^1 dx \int_{-(1-x^2)^{1/2}}^{(1-x^2)^{1/2}} \mathcal{G}(\lambda, \beta) dx dy}.$$

辐射阻尼与 Doppler 联合效应

对 $\nu_{jk} \in [\zeta, \zeta + \Delta\zeta]$ 范围内的原子.

由阻尼效应.

$$a_\nu = \frac{e^2}{mec} \delta_{jk} \frac{f_{jk}}{(\nu - \nu_{jk})^2 + \delta_{jk}^2} \quad \delta_{jk} = \frac{\gamma_j + \gamma_k + \gamma_c}{4\pi}$$

ν_{jk} 发生了移动 $\Delta\nu = \frac{\zeta}{c} \nu_{jk}$

$$a_\nu = \frac{e^2}{mec} \delta_{jk} \frac{f_{jk}}{(\nu - \nu_{jk} - \Delta\nu)^2 + \delta_{jk}^2}$$

加权积分 $\frac{dn}{n} = \frac{1}{\sqrt{\pi}} e^{-\left(\zeta/\zeta_D\right)^2} \frac{d\zeta}{\zeta_D}$

$$\Rightarrow \frac{dn}{n} = \frac{1}{\sqrt{\pi}} e^{-\left(\Delta\nu/\Delta\nu_D\right)^2} \frac{d(\Delta\nu)}{\Delta\nu_D}$$

$$a_\nu = \int \frac{e^2}{mec} \delta_{jk} \frac{f_{jk}}{(\nu - \nu_{jk} - \Delta\nu)^2 + \delta_{jk}^2} \frac{dn}{n} \bigg/ \int \frac{dn}{n}$$

$$\frac{1}{2} y = \frac{\Delta\nu}{\Delta\nu_D}$$

$$p = \frac{\nu - \nu_{jk}}{\Delta\nu_D}$$

$$a = \frac{\delta_{jk}}{\Delta\nu_D}$$

$$a_{\nu_0} = \frac{\sqrt{\pi} e^2}{mec} \frac{f_{jk}}{\Delta\nu_D}$$

$$\text{有 } \frac{a_\nu}{a_{\nu_0}} = \frac{a}{\pi} \int_{-\infty}^{\infty} \frac{e^{-y^2}}{a^2 + (p-y)^2} a_y = H(a, p), \quad \text{Voigt Function.}$$

若无辐射阻尼, $a=0$.

积分号里是 $e^{-y^2} \delta(p-y)$, 恢复成指数形式.

$$\Rightarrow a \ll 1.$$

$$a_\nu = a_{\nu_0} e^{-[(\nu - \nu_{jk}) / \nu_0]^2}, \quad \text{Doppler Core.}$$

离线心较远, Doppler 效应减弱, 吸收系数由辐射阻尼效应主导.

$$a_\nu = \frac{e^2}{m c} \delta_{jk} \frac{f_{jk}}{(\nu - \nu_{jk})^2 + \delta_{jk}^2}.$$

压力效应.

吸收原子和周围原子作用产生谱线致宽.

碰撞使原子波列不连续 \rightarrow 在频谱 = 展宽.

Collision Damping Theory.

与压力有关.

Collision Statistical Theory.

致宽来自于碰撞导致的能级变化.

Stark Effect, 辐射原子能级在电场中分裂.

不用子线分裂不用 \rightarrow 宏观上看到统计平均。
碰撞阻尼理论。

在 $-\frac{T}{2}$ 到 $\frac{T}{2}$ 间振荡以 $\nu_0 = \frac{\omega_0}{2\pi}$ 辐射。

$$\varepsilon(t) = A e^{i\omega_0 t} \quad (t \in [-\frac{T}{2}, \frac{T}{2}])$$

$$0 \quad (t \notin [-\frac{T}{2}, \frac{T}{2}])$$

$$\varepsilon(\omega) = \frac{A}{\sqrt{2\pi}} \int_{-\infty}^{\infty} \varepsilon(t) e^{-i\omega t} dt$$

$$= \frac{A}{\sqrt{2\pi}} \int_{-\frac{T}{2}}^{\frac{T}{2}} e^{i(\omega_0 - \omega)t} dt$$

$$= \sqrt{\frac{2}{\pi}} A \sin\left(\frac{\omega_0 - \omega}{2} T\right) / \left(\frac{\omega_0 - \omega}{2}\right)$$

$$\therefore I(\omega) \propto \left(\frac{\sin \frac{\omega_0 - \omega}{2} T}{\frac{\omega_0 - \omega}{2}} \right)^2$$

在 $T \sim T+dT$ 内碰撞概率

$$\frac{1}{\tau_c} \exp(-T/\tau_c) dT$$

不同波段叠加。

$$I_\nu \propto \int_0^\infty P(\omega, T) e^{-T/\tau_c} dT / \int_0^\infty e^{-T/\tau_c} dT.$$

$$= \int_0^\infty \left(\frac{\sin \pi(\nu - \nu_0)T}{\pi(\nu - \nu_0)} \right)^2 e^{-T/\tau_c} \frac{dT}{\tau_c}.$$

$$= \frac{\tau_c/4\pi}{(\nu - \nu_0)^2 + (\tau_c/4\pi)^2} \propto a_\nu.$$

a_ν 系数由 $\int a_\nu d\nu = \frac{\pi e^2}{m c^3} f_{ik}$ 给出.

$$\therefore a_\nu = \frac{e^2}{m c^3} \frac{\tau_c}{4\pi} \frac{f}{(\nu_0 - \nu)^2 + (\tau_c/4\pi)^2} \quad \text{形式上与辐射阻尼一致.}$$

$$\tau_c = \frac{2}{\omega_0} = 2N\bar{v}\sigma.$$

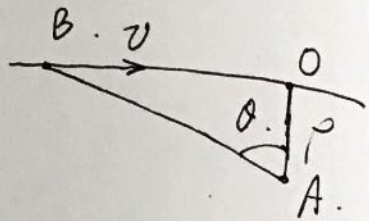
↓
半高全宽.

↓
数密度 ↑ ρ ↑ 谱线更宽

电磁碰撞阻尼常数的确定

扰动粒子经过辐射振子附近，与辐射振子相互作用
辐射振子频率改变，相位改变 η 。

$$\eta \sim \rho?$$



$$r = \sqrt{\rho^2 + v^2(t-t_0)^2}$$

电磁相互作用对辐射振子频率的改变

$$\Delta\nu = \frac{C_n}{r^n} \quad \Delta\omega = \frac{2\pi C_n}{r^n}$$

(以氢原子为例，有电偶极矩项 $\sim \frac{1}{r^2}$)

线性 Stark effect ($n=2$)，二次 Stark effect ...

$$d\eta = \Delta\omega dt = \frac{2\pi C_n}{[\rho^2 + v^2(t-t_0)^2]^{n/2}} dt$$

$$n(\rho) = \int d\eta \stackrel{\text{延拓}}{=} \int_{-\infty}^{\infty} \frac{2\pi C_n}{[\rho^2 + v^2(t-t_0)^2]^{n/2}} dt$$

$$r = \rho / \cos\theta, \quad dx = d(\rho \tan\theta) = \rho \sec^2\theta d\theta$$

$$\text{积分得到 } n(\rho) = \frac{2\pi C_n}{v \rho^{n-1}} \underbrace{\int_{-\pi/2}^{\pi/2} \cos^{n-2}\theta d\theta}_{\propto n}$$

$$= \frac{2\pi C_n}{v \rho^{n-1}} \frac{\sqrt{\pi} \Gamma(\frac{n-1}{2})}{\Gamma(\frac{n}{2})}$$

$$\Gamma(n) = \Gamma(n-1) \Gamma(\frac{1}{2}) = \sqrt{\pi}$$

临界相移对应距离

$$\rho_0 = \left(\frac{2\pi C_n}{v \eta_0} \alpha_n \right)^{1/n-1}$$

通常 η_0 取 1 弧度或 $\frac{2}{\pi}$

碰撞截面的 $\sigma = \pi \rho^2$

$$\gamma_c = 2\pi N \bar{v} \left(\frac{2\pi C_n \alpha_n}{v \eta_0} \right)^{2(n-1)} \quad (\text{相对速度})$$
$$\bar{v} = \sqrt{\frac{8}{\pi} kT \left(\frac{1}{\mu_1} + \frac{1}{\mu_2} \right)}$$

事实上碰撞前后波相变

$$a_v = \frac{e^2}{m_e c} \frac{\gamma}{4\pi} \frac{f}{(v - v_0 - \beta)^2 + (\gamma_c/4\pi)^2}$$

不但使谱线展宽还使线心移动

碰撞阻尼与辐射阻尼的相互作用

先辐射阻尼展宽，再被碰撞阻尼展开

$$I(\omega) \propto \int_{-\infty}^{\infty} \frac{1}{(\omega - \omega')^2 + (\gamma_c/2)^2} \frac{d\omega'}{(\omega' - \omega_0)^2 + (\gamma_0/2)^2}$$

$$= \frac{(\gamma_c + \gamma_0)/2}{(\omega - \omega_0)^2 + [(\gamma_c + \gamma_0)/2]^2}$$

利用.

$$a_\nu = A I_\nu.$$

$$\int a_\nu d\nu = \frac{\pi e^2}{m e c} f.$$

$$\text{有 } \frac{\pi e^2}{m e c} f a_\nu = \frac{e^2}{m e c} \cdot \frac{(r_c + r_0)}{4\pi} \frac{f}{(\nu - \nu_0)^2 + \left(\frac{r_c + r_0}{4\pi}\right)^2}$$

回到量子形式

$$a_\nu = \frac{e^2}{m e c} \delta_{jk} \frac{f}{(\nu - \nu_{jk})^2 + \delta_{jk}^2}$$

$$\delta_{jk} = \frac{1}{4\pi} (r_{j0} + r_{k0} + r_c).$$

压力效应的统计理论.

与 Stark effect 有关的统计理论.

外场 $< 10^5$ V/cm. (远小于氦原子自身的 Coulomb 势)

裂距 \propto 场强. 不再是微扰).

其他一些原子 (除 He) 一般只有二次 Stark effect.

线性 Stark effect. 外场

$$\Delta E = \frac{3}{8\pi^2} \frac{h^2}{e m e} n n_F F.$$

$$n_F = 0, \pm 1, \dots$$

分裂能级对称. 分裂数目随 $n \uparrow$ 而 \uparrow .

$$\begin{aligned} \Delta\lambda &= \frac{\lambda^2}{c} \Delta V = \frac{\lambda^2}{c} \frac{\Delta E_1 - \Delta E_2}{h} \\ &= \frac{3}{8\pi^2} \frac{h\lambda^2}{c m_e} (n n' F - n' n' F) F. \\ &= 0.0192 \lambda^2 (n n' F - n' n' F) F \\ & \quad (\lambda \sim \text{cm}, F \sim \text{V/cm}, \text{cgs}). \end{aligned}$$

恒星中无强宏观电场. 但微扰离子运动可能带来强微扰场. 且随时变化.

在统计上用平均场近似. 认为辐射粒子与扰动

粒子无相对运动. 对离子近似成立.

场强值满足一定概率分布.

设场强下的概率密度为 $\Phi(F)$.

谱线分裂成 k 条

第 k 条谱线对应 ω 距为 $[\Delta\lambda, \Delta\lambda + d(\Delta\lambda)]$ 处

辐射贡献为

$$I_k \Phi(F_k) dF_k \quad (dF_k \text{ 与 } d(\Delta\lambda) \text{ 对应}).$$

$$I(\Delta\lambda) d(\Delta\lambda) = \sum_k I_k \Phi(F_k) dF_k.$$

若知道 $I(\Delta\lambda) \rightarrow a_\nu$.

需要 $\Phi(r)$ 的函数表达式.

对于较大的值, 只考虑离得最近的那个粒子的作用.

$P(r)dr$ 表示最近扰动粒子在 $(r, r+dr)$ 内的概率

$W^*(r)$ 表示在 r 内无扰动粒子概率

$W(r)dr$ 表示在 $(r, r+dr)$ 有粒子概率.

$$P(r)dr = W^*(r)W(r)dr.$$

$$W(r)dr = N4\pi r^2 dr.$$

$$W^*(r+dr) = W^*(r)[1 - W(r)dr].$$

$$\Rightarrow \frac{W^*(r+dr) - W^*(r)}{W^*(r)} = -W(r)dr.$$

$$\frac{dW^*(r)}{W^*(r)} = -4\pi N r^2 dr.$$

$$\Rightarrow W^*(r) = e^{-\frac{4\pi}{3}Nr^3}.$$

$$\therefore P(r) dr = e^{-\frac{4}{3}\pi N r^3} \underbrace{4\pi r^2}_{\hat{N}} dr.$$

设 r_0 为扰动粒子平均距离的一半.

$$\text{有 } \frac{4}{3}\pi r_0^3 = \frac{1}{N}.$$

$$P(r) dr = e^{-(r/r_0)^3} d\left(\frac{r}{r_0}\right)^3.$$

假设恒星大气中扰动粒子带电为 e .

$$\text{令 } F_0 = \frac{e}{r_0^2} = e \left(\frac{4\pi N}{3}\right)^{2/3}. \quad \text{往电场上靠.}$$

$$\beta \equiv \frac{F}{F_0} = \left(\frac{r_0}{r}\right)^2 \Rightarrow \frac{r}{r_0} = \beta^{-1/2}.$$

$$\begin{aligned} W(\beta) d\beta &= P\left(\frac{r}{r_0}(\beta)\right) d\left(\frac{r}{r_0}(\beta)\right) \\ &= \frac{3}{2} \beta^{-5/2} e^{-\beta^{3/2}} d\beta. \end{aligned}$$

全体扰动粒子.

$$W(\beta) = \frac{2}{\pi\beta} \int_0^{\infty} v \sin v e^{-\left(\frac{v}{\beta}\right)^{3/2}} dv.$$

β 很小, e 指数很大, 可以展开正弦函数积分.

首先讨论线性 Stark 效应.

$$\Delta\lambda_k = 0.0192 \lambda^2 (n n' F - n' n F) F.$$

$$= C_k F. \quad \text{第 } k \text{ 条谱线裂距.}$$

$$\therefore F_k = \frac{\Delta \lambda}{C_k}, \quad dF_k = \frac{d(\Delta \lambda)}{C_k}$$

$$\beta = \frac{F}{F_0}, \quad \Phi(F) dF = W(\beta) d\beta \quad \forall \lambda \quad I(\Delta \lambda) d(\Delta \lambda)$$

$$I(\Delta \lambda) d(\Delta \lambda) = \sum_k I_k \Phi(F_k) dF_k = \sum_k I_k W(\beta_k) d\beta_k$$

$$= \sum_k I_k W\left(\frac{F_k}{F_0}\right) d\left(\frac{F_k}{F_0}\right) = \sum_k I_k W\left(\frac{\Delta \lambda}{C_k F_0}\right) \frac{d(\Delta \lambda)}{C_k F_0}$$

$$\frac{1}{2} \alpha = \frac{\Delta \lambda}{F_0}$$

$$I(\Delta \lambda) d(\Delta \lambda) = \sum_k I_k W\left(\frac{\alpha}{C_k}\right) \frac{d\alpha}{C_k} \equiv S(\alpha) d\alpha$$

$$a(\Delta \lambda) d(\Delta \lambda) = A S(\alpha) d\alpha.$$

$$\forall \Delta \lambda = a(\Delta \nu).$$

$$\forall d(\Delta \lambda) = d\lambda = \frac{\lambda^2}{c} d\nu = \frac{\lambda^2}{c} d(\Delta \nu).$$

$$\int_0^\infty a(\Delta \nu) d(\Delta \nu) = \frac{\pi e^2}{m_e c f}.$$

$$\int_{-\infty}^{\infty} S(\alpha) d\alpha = \sum_k I_k \int_0^\infty W(\beta_k) d\beta_k = \sum_k I_k = 1.$$

$$\int A S(\alpha) d\alpha = A = \int a_\lambda d\lambda = \int a_\nu \frac{\lambda^2}{c} d\nu$$

$$\approx \frac{\lambda^2}{c} \int a_\nu d\nu$$

$$\equiv \frac{\pi e^2}{m_e c^2} \lambda^2 f.$$

$$a(\Delta\lambda)d(\Delta\lambda) = \frac{\pi e^2}{m_e c^2} \lambda^2 f \sum_k I_k W \left(\frac{\sigma}{c_k} \right) \frac{d\sigma}{c_k}$$

$$= \frac{\pi e^2}{m_e c^2} \lambda^2 f \sum_k I_k W \left(\frac{\Delta\lambda}{c_k F_0} \right) \frac{d(\Delta\lambda)}{c_k F_0}$$

对于线系 $\Delta\lambda$ 很大, β 也很大.

$$W(\beta) \approx 1.496 \beta^{-\frac{5}{2}}$$

$$a(\Delta\lambda) = \frac{\pi e^2}{m_e c^2} \lambda^2 f \sum_k \frac{I_k}{c_k F_0} \left[1.496 \left(\frac{c_k F_0}{\Delta\lambda} \right)^{5/2} \right]$$

$$= 1.496 \frac{\pi e^2}{m_e c^2} \lambda^2 f \frac{F_0^{3/2}}{(\Delta\lambda)^{5/2}} \sum_k I_k c_k^{3/2}$$

$$\equiv C \frac{F_0^{3/2}}{(\Delta\lambda)^{5/2}}$$

Balmer 系高号码谱线的近似公式.

对二次 Stark 效应

$$\Delta\lambda_k = C_k' F^2 = C_k' F_0^2 \beta^2$$

$$\Rightarrow \beta_k = \sqrt{\frac{\Delta\lambda}{C_k' F_0^2}}$$

代回 $\sum_k I_k W \left(\frac{\Delta\lambda}{c_k F_0} \right) d(\beta_k) d\beta_k$

求解.

碰撞理论和统计理论的应用范围

碰撞理论假设.

1. 不碰撞. 原子按 v_0 辐射.

2. 忽略碰撞时的辐射.

而碰撞时的辐射主要在线翼上.

因此碰撞理论适用于线心.

而统计理论适用于碰撞时的辐射.

~~反之~~适用于线翼.

$$\Delta \omega_c = \frac{\frac{v}{n-1}}{(2\pi C_n \alpha_n^n)^{\frac{1}{n-1}}}$$

$$\Delta \omega(r) = \frac{2\pi C_n}{r^n} \quad \alpha_n = \int_{-\frac{\pi}{2}}^{\frac{\pi}{2}} \cos^{n-2} \theta d\theta = \sqrt{\pi} \Gamma\left[\frac{(n-1)}{2}\right] / \Gamma\left[\frac{n}{2}\right]$$

$\Delta \omega \ll \omega_c$. 碰撞

$\Delta \omega \gg \omega_c$ 统计

按相互作用类型来讨论. $\Delta V = \frac{C_n}{r^n}$.

1. $n=2$

$$\Delta V = \frac{e C_2}{e r_0^2} = \frac{C_2}{e} F. \quad F \text{ is Coulomb field.}$$

$n=2$ 是线性 Stark 效应的情形.

$\frac{C_2}{e}$ 为线性 Stark 效应的系数.

H 的某些谱线 $\lambda 4471, \lambda 4922$.

Balmer 系 $H\alpha, H\beta, H\gamma, H\delta$ 而言.

离子 \rightarrow 统计 电子 \rightarrow 碰撞.

$$\text{未自由电子} \Delta \omega_c \propto \bar{v}$$

$$\text{显然 } v_{\text{thermal } e} \gg v_{\text{thermal } p}$$

$n=4$ 的情形.

$$\Delta V = \frac{C_4}{r^4} = \frac{C_4}{e^2} F^2 \quad F \text{ 为 Coulumb 场.}$$

二次 Stark 效应.

$$\Delta \lambda_c = \frac{\lambda^2}{2\pi c} \Delta \omega_c = \frac{\lambda^2}{2\pi c} \frac{\bar{v}^{4/3}}{(2\pi C_4 \propto 4)^{1/2}}.$$

自由电子 \rightarrow 碰撞.

离子 (C_4 较小, ~~次要~~ 碰撞).

C_4 较大, 几乎全是统计.

$n=4$ 的情况下, 统计比碰撞小得多. 离子作用常被

忽略

$$= 2\pi N \bar{v} \left(\frac{2\pi C_4 \propto 4}{v \eta_0} \right)^{2/3}.$$

$$\text{碰撞阻尼系数 } \gamma_4 = 38.8 C_4^{2/3} \bar{v}^{-1/3} N. \quad \gamma_{e,4} \approx 3 \gamma_{i,4}.$$

C_4 充大的谱线, 二次 Stark 效应很重要 (自身较弱)

吸收原子和中性扰动原子 (极线场) 相互作用.

$n=3$. 主要由碰撞近似

$$\gamma_3 = 4\pi^3 C_3 N.$$

$$C_3 \approx \frac{e^2}{8\pi^2 m_e v_0} f_{ik}.$$

自我反吸收光子数密度平方. $\gamma_3 \propto N^2$.

故对金属不重要.

$n=3$. 冷星的 Balmer 系 中性氢丰富.

太阳 $H\alpha$ 由 $n=3$ 致宽

$H\beta$ 由 $n=2$ 致宽.

$n=6$ 的情形.

Van der Waals 力.

要用碰撞理论处理. 扰动为 H 原子.

$$\gamma_6 = 17.0 C_6^{3/5} v^{-3/5} N.$$

$$C_6 = \frac{e^2 \alpha}{h} \overline{R_k^2}$$

$$\text{Na D} \quad \overline{R_k^2} = 41 a_0^2$$

$$\text{Ca II. H\&K} = 23 a_0^2.$$

轻金属 高激能级.

$$\frac{\bar{R}_k}{a_0^2} = \frac{n^*2}{2(r+1)^2} [5n^{*2} + 1 - 3l(l+1)]$$

1. $T_{\text{eff}} < 6000 \text{ K}$.

大多数压力致宽由原子和中性氢 $n=6$ 碰撞产生.

C_4 充分大.

共振线 resonance line ($\epsilon \rightarrow 0$, 可认为是纯散射)

单位质量的吸收系数

由该能态的与原子计算的吸收系数

\Rightarrow 单位质量的吸收系数

$$dI_\nu = -I_\nu a_\nu N_{r,j} dh = -I_\nu a_\nu \frac{N_{r,j}}{\rho} \rho dh.$$

$$\parallel$$
$$-I_\nu l_\nu \rho dh.$$

$$\rho = \sum_s m_s N_s = m_H \sum \frac{m_s}{m_H} N_s$$
$$= m_H \sum \mu_s N_s.$$

$$\Rightarrow l_\nu = a_\nu \frac{N_{r,j}}{\rho}.$$

$$= a_\nu = \frac{N_{r,j}}{\sum_{r,j} N_{r,j}} \cdot \frac{\sum_{r,j} N_{r,j}}{m_H} \cdot \frac{m_H}{\rho}.$$

$$\sum \mu_0 = \sum_s \frac{N_s m_s}{N_H} = \sum_s a_s m_s.$$

上式

$$= a_\nu \frac{N_{r,j}}{N_Z} \cdot \frac{N_Z}{N_H} \cdot \frac{N_H}{\rho} = \cancel{a_\nu}$$

$$= a_\nu \frac{N_{r,j}}{N_Z} \cdot \frac{N_Z}{N_H} \cdot \frac{1}{m_\mu}$$

$$= a_\nu \frac{N_{r,j}}{N_r} \cdot \frac{N_r}{N_Z} \cdot \frac{N_Z}{N_H} \cdot \frac{1}{m_\mu}$$

在 LTE 下 $\left. \begin{array}{l} \downarrow \\ \downarrow \end{array} \right\} \text{Element Abundance.}$

Boltzmann Eq (与 T 有关) Saha Eq (与 T, ρ_e 有关).

⊗

由于吸收线形成深度浅, 可用平均 T, ρ_e 计算

a_ν 的计算

常常计算那些贡献大的机制.

对于压力效应是碰撞致宽情形.

$$a = \delta_{jk} / \Delta \nu_D, \quad \delta_{jk} = (\gamma_j + \gamma_k + \gamma_c) / 4\pi;$$

$$\rho = (\nu - \nu_{jk}) / \Delta \nu_D.$$

$$\frac{a_\nu}{a_{\nu 0}} = \frac{a}{\pi} \int_{-\infty}^{\infty} \frac{e^{-y^2}}{a^2 + (p-y)^2} dy = H(a, p)$$

实际计算无估算 ν 的大小.

由线性 Stark 效应致宽的谱线
在线型部分

$$a(\Delta\lambda) = C \frac{F_0^{3/2}}{(\Delta\lambda)^{5/2}} = C \frac{(2.61 e N^{2/3})^{3/2}}{(\Delta\lambda)^{5/2}}$$

$$= \textcircled{2} (2.61 e)^{3/2} \frac{\rho_e}{k_B T} \frac{C}{(\Delta\lambda)^{5/2}}$$

1. 2. 4. 6. 7. 8. 10.

生长曲线的理论及应用.

没有精确的谱线轮廓.

理论上没有很好的大气模型.

不讨论谱线的轮廓或形状, 只研究吸收线
的总吸收. 等值宽度 W_λ .

$W_\lambda \propto N_j f_{jk} \rightarrow$ oscillation amplitude.
存在某种联系.
 \downarrow
Column density.

S-S 模型给出.

$$r_\nu = \frac{F_\nu}{F_\nu^0}$$

$$R_\nu = 1 - r_\nu = \frac{3}{4} \frac{\tau_\nu^0}{1 + \frac{3\tau_\nu^0}{4}}$$

反变层线心光厚厚度

$$X_0 \propto \rho l c h \propto \frac{\sqrt{\pi} e^2}{m e c} \frac{f_{jk}}{\nu_j} N_j h \propto f_{jk} N_j h \propto f_{jk} N_j$$

X_0 很小. 仅在线心频率处连续背景上有一小的强度

弱. ($\Delta \omega_\lambda$)

随着 X_0 (N_j) 增加而迅速增加.

$\Delta \omega_\lambda$

N_j 越来越大时, $\Delta \omega_\lambda$ 增速放缓 (线心全部吸收).

N_j 或 f_{jk} 很大时, $\Delta \omega_\lambda$ 有较快增长 (线翼参与吸收).

$\Delta \omega_\lambda$

理论的生长曲线.

S-S 模型.

$$r_\nu = \frac{F_\nu}{F_\nu^0} = \frac{H_\nu}{H_\nu^0} = \frac{1}{1 + \tau_\nu^0 \varphi(\tau_\nu^0)}$$

$\tau_\nu^0 \ll 1, \varphi(\tau_\nu^0) \approx 1$ $\tau_\nu^0 \rightarrow \infty \varphi(\tau_\nu^0) \rightarrow \frac{3}{4}$. 单调减.

$$\text{取 } g(\tau_\nu^\sigma) = 1, \quad r_\nu = (1 + \tau_\nu^\sigma)^{-1}$$

$\tau_\nu^\sigma \gg 1 \rightarrow r_\nu \rightarrow 0, R_\nu \rightarrow 1$. 与观测不符合.

$$\text{Minnaert 半经验公式 } \frac{1}{R_\nu} = \frac{1}{R_c} + \frac{1}{\tau_\nu^\sigma}$$

\downarrow
最强吸收线的线心深度.

$$\tau_\nu^\sigma \ll 1, \quad R_\nu \approx \tau_\nu^\sigma.$$

$$\tau_\nu^\sigma \gg 1, \quad R_\nu \approx R_c.$$

$$\text{其中 } \tau_\nu^\sigma = \int N_j a_\nu dh.$$

该曲线只适用于反力碰撞. 辐射阻尼. 微小 Doppler 效应致宽的谱线

在反变层. 温度和阻尼常数变化不大.

$$\tau_\nu^\sigma = a_\nu \int N_j dh$$

$$= a_\nu N_j \leftarrow \text{Column density.}$$

代入半经验公式

$$R_\nu = \frac{R_c}{1 + \left(\frac{a_\nu N_j}{R_c}\right)^{-1}}$$

$$W_\nu = \int R_\nu d\nu = \int_0^\infty \frac{R_c}{1 + \left(\frac{a_\nu N_j}{R_c}\right)^{-1}} d\nu$$

$$\Rightarrow \frac{W_\nu}{R_c} = \int_0^\infty \frac{1}{1 + \left(\frac{a_\nu N_j}{R_c}\right)^{-1}} d\nu$$

a_ν 对 $\nu - \nu_0$ 对称

$$= \int_{-\infty}^\infty \frac{d(\nu - \nu_0)}{1 + \left(\frac{a_\nu N_j}{R_c}\right)^{-1}}$$

$$= \geq \int_0^\infty \frac{d(\nu - \nu_0)}{1 + \left(\frac{a_\nu N_j}{R_c}\right)^{-1}}$$

$$= \geq \int_0^\infty \frac{d(\nu - \nu_0)}{1 + \left(\frac{a_\nu \cdot a_{\nu_0} N_j}{a_{\nu_0} R_c}\right)^{-1}}$$

Def $X_0 \equiv a_{\nu_0} N_j = \frac{\sqrt{\pi} e^2}{m_e c} \frac{f_{jk}}{\Delta \nu_D} N_j$ (线心光厚厚度)

$$D_0 = \frac{X_0}{R_c}$$

X_0, D_0 都 $\propto N_j f_{jk}$

上式

$$= \geq \int_0^\infty \frac{d(\nu - \nu_0)}{1 + \left(\frac{a_\nu}{a_{\nu_0}} \cdot D_0\right)^{-1}}$$

$N_j f_{jk}$ 较小. 轮廓由线心 (Doppler 效应) 决定.

$$a_{\nu}/a_{\nu_0} = e^{-[(\nu-\nu_0)/\Delta\nu_D]^2}$$

$$\text{有 } \frac{W_{\nu}}{R_c} = 2 \int_0^{\infty} \frac{\alpha(\nu-\nu_0)}{1 + e^{\frac{(\nu-\nu_0)^2}{\Delta\nu_D^2}}} / D_0$$

$$\underline{p = (\nu-\nu_0)/\Delta\nu_D} \geq D_0 \Delta\nu_D \int_0^{\infty} (D_0 + e^{p^2})^{-1} dp.$$

若 \$f_k\$ 很小, \$D_0 \ll 1\$, 则 \$D_0 \ll 1\$

作 Taylor 展开.

$$\frac{W_{\nu}}{R_c} = 2D_0 \Delta\nu_D \int_0^{\infty} e^{-p^2} (1 + e^{-p^2} D_0)^{-1} dp.$$

=

$$= \sqrt{\pi} \Delta\nu_D D_0 \left\{ 1 - \frac{D_0}{\sqrt{2}} + \frac{D_0^2}{\sqrt{3}} \dots \right\}$$

若 \$D_0 \gg 1\$, 取 \$b = \ln D_0\$, \$u = p^2\$.

$$= 2D_0 \Delta\nu_D \int_0^{\infty} (e^b + e^{p^2})^{-1} dp.$$

$$= \Delta\nu_D \int_0^{\infty} \frac{u^{-\frac{1}{2}} du}{1 + e^{u-b}}$$

但 \$f_k\$ 很小, 所以 Doppler 展宽.

D_0 进一步增大, 等值宽度由线翼决定.

$$a_{\nu} = \frac{e^2}{mc} \delta_{jk} \cdot \frac{f_{jk}}{(\nu - \nu_{jk})^2 + \delta_{jk}^2}$$

线翼 $(\nu - \nu_{jk})$ 很大 $\cdot a_{\nu} = \frac{e^2}{mc} \delta_{jk} f_{jk} (\nu - \nu_{jk})^{-2}$.

由 $W_{\nu} \rightarrow W_{\lambda}$.

$$W_{\lambda} = \int R_{\lambda} d\lambda = \int \frac{F_{\lambda\nu} - F_{\lambda}}{F_{\lambda}} d\lambda$$

由 $F_{\nu} d\nu = F_{\lambda} d\lambda$.

$$\Rightarrow F_{\lambda} = F_{\nu} \frac{d\nu}{d\lambda}$$

由 $\nu = \frac{c}{\lambda}$.

$$\therefore F_{\lambda} = F_{\nu} \cdot \frac{c}{\lambda^2}$$

$$W_\lambda = \int \frac{F_{\lambda 0} - F_\lambda}{F_\lambda} d\lambda$$

$$= \int \frac{F_{\nu_0} - F_\nu}{F_{\nu_0} \left(\frac{\nu_0}{\lambda_0}\right)} = W_\nu \frac{\lambda}{\nu}$$

$$\Rightarrow \frac{W_\lambda}{\lambda} = \frac{W_\nu}{\nu}$$

代回 W_ν .

(1) 弱线 ($D_0 \ll 1$). W_λ 与 Re 无关.

对给定 ν_0 . W_λ 与 λ_0 成线性增大.

$$W_\lambda \propto \nu_j f_{jk}$$

(2) 中等强度. ($D_0 \gg 5$). W_λ 随 $\nu_j f_{jk}$ 变化缓慢.

(对数平方).

(3) D_0 很大. W_λ 随 $(\nu_j f_{jk})^{1/2}$ 成比例增大.

如何通过观测资料来拟合生成曲线和求物理量

只讨论 S-S 模型的情况。

利用多重线来测量。原子强度易从理论与实验得知。

↓
相同的 n, l 能级差只有自旋与轨道耦合。

对多重线 ν_j, g_j 为常量。

$$D_0 = \frac{X_0}{R_c} = \frac{a \nu_0 \nu_j}{R_c} = \frac{1}{R_c} \frac{\sqrt{\pi} e^2}{m c^2} \frac{f_{jk}}{\Delta \nu_D} g_j \frac{\nu_j}{g_j}$$

$$\Rightarrow \lg D_0 - \lg (g_j f_{jk}) = \lg \left(\frac{1}{R_c} \frac{\sqrt{\pi} e^2}{m c^2} \frac{1}{\Delta \nu_D} \right) + \lg \frac{\nu_j}{g_j} = \text{Const}$$

用 $\lg g_j f_{jk}$ 代替 $\lg D_0$ 作为横坐标。

选取一系列 $g_j f_{jk}$ 已知的多重线。

测量每一条多重线的等值宽度 W_λ 与 W_λ / λ

每一多重线 $\lg W_\lambda / \lambda \sim \lg g_j f_{jk}$ 坐标上

在拟合过程中定出 $a = \frac{\delta_{jk}}{\Delta \nu_D} = \frac{\Gamma_{jk}}{4\pi \Delta \nu_D}$

$$\frac{W_\lambda}{R_c} \frac{c}{\lambda \nu_D} = \pi^{3/4} \sqrt{a \frac{X_0}{R_c}}$$

$$\Rightarrow \lg\left(\frac{W_0}{\lambda_0}\right) + \lg\left(\frac{c}{R_c \tau_D}\right) = \lg \pi^{3/4} + \lg a + \lg D_0.$$

沿纵坐标移动不确定 $\lg \frac{c}{R_c \tau_D}$. R_c 由分光观测给出.

$$\Rightarrow \tau_D \text{ 再由 } \tau_D^2 = \tau_0^2 + \tau_t^2$$

$$= \frac{2k_B T}{\mu_{\text{eff}}} + \tau_t^2.$$

$$\Rightarrow \tau_t.$$

$$\Rightarrow \frac{\Gamma_{jk}}{\nu_0} = \frac{4\pi}{c} a \tau_D$$

再利用 $\lg D_0 - \lg(g_j f_{jk}) = \lg\left(\frac{1}{R_c} \frac{\sqrt{\pi} e^2}{m_e c} \frac{1}{\Delta \nu_D}\right) + \lg \frac{N_j}{g_j}$.

由已知 ν_0 与 R_c .

$$\Rightarrow N_j$$

由 Boltzmann Eq 与 Saha Eq. 得到原^柱密度

生长曲线法假设.

i) 对所有元素 τ_D 相同.

ii) 对所有谱线 $\frac{\Gamma_{jk}}{\nu_0}$ 相同.

2.3.

non-LTE.

恒星大气偏离LTE

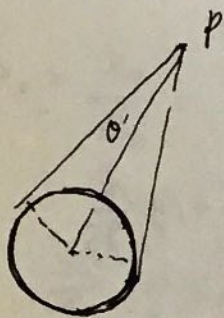
低密度 \rightarrow 偏离LTE.

光子偏离更多.

即便粒子处于LTE, 但由于辐射场中的作用,

辐射场是非均匀且各向异性的.

恒星大气边界处 $I_\nu(\theta, 0) = 0$.



$$u_\nu = \frac{1}{c} \int_{\omega'} I_\nu d\omega = \frac{1}{c} \int_{\omega'} B_\nu(T) d\omega$$
$$= \frac{B_\nu(T) \omega'}{c}$$

积分

$$= \frac{4\pi B_\nu(T)}{c} \frac{\omega'}{4\pi}$$

P的辐射因子

$$W = \frac{\omega'}{4\pi} = \frac{1}{4\pi} \int_0^{2\pi} \int_0^{\theta'} \sin\theta d\theta d\phi$$

$$= \frac{1}{2} (1 - \cos\theta')$$

$$= \frac{1}{2} \left[1 - \sqrt{1 - \left(\frac{R}{r}\right)^2} \right]$$

表面 $W = \frac{1}{2}$.

$$u_\nu = W \frac{8\pi h\nu^3}{c^3} \frac{1}{e^{h\nu/k_B T} - 1}$$

恒星大气辐射强度的跳跃.

如 Balmer 跳跃.

只有在 $\tau_\nu \rightarrow \infty$ 时 $I_\nu(0, \tau) \rightarrow B_\nu(T)$.

$$B_\nu(T) = \frac{2h\nu^3}{c^2} \frac{1}{e^{h\nu/k_B T} - 1}$$

对 ν - ν 方向, 辐射, 可以用一个确定的温度 T_r 来描述. T_r 是 $(\tau_\nu, 0, 0)$ 的函数.

对任一小组元, 热运动物质特性由运动温度描述.

但理想气体下 ~~$p = n k_B T$~~ $p = n k_B T$.

不同粒子也可能有不同的温度.

电子的速度分布.

自由电子来源.

1. 光致电离.

2. 碰撞电离.

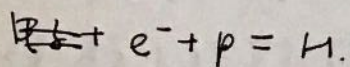
最后重新被俘获.

在寿命内, 若弹性碰撞占优, 则趋近于 Maxwell 分布.

$$t_0 = \frac{1}{\sigma \bar{v} N} \stackrel{\text{Maxwell}}{=} \frac{1}{\sigma N} \left(\frac{m_e}{3k_B T} \right)^{1/2} \text{ Distribution}$$

太阳型 电子 \rightarrow H⁺

较热恒星大气 $T \approx 10^4 \text{ K}$.



电子之间的碰撞截面.

$$\sigma_e = \pi \eta_0 \left(\frac{2e^2}{m_e \bar{v}} \right)^2 \ln \left(\frac{\lambda_D}{p_0} \right) = 4\pi \eta_0 \frac{e^4}{m_e^2 \bar{v}^4} \ln \left(\frac{\lambda_D}{p_0} \right)$$

$$t_1 = \frac{1}{\sigma_e \bar{v} N_e}$$

$$\frac{\tau_0}{t_1} = \frac{\sigma_e \bar{v} N_e}{\sigma \bar{v} N} = 17.9 \frac{e^4}{\sigma_T (3k_B T)^2} \ln \left(\frac{\lambda_D}{p_0} \right) \frac{\sigma_T}{\sigma} \frac{N_e}{N}$$

$$\text{Sum: } \sim 5 \times 10^5$$

pf:

自由电子的非弹性碰撞

i) $T < 10^4 \text{ K}$.

⊗ 少数氩原子才电子才能激发氩原子.

弹性 \rightarrow 非弹性.

ii) $T > 10^4 \text{ K}$.

electron-electron 碰撞截面增大.

电子能量达到可激发氩原子时大部分氩已电离

电子 \rightarrow Maxwell
离子

能级平衡方程.

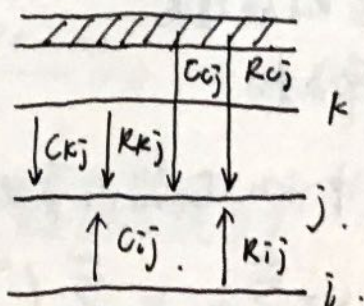
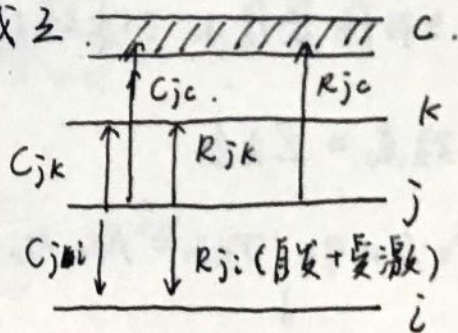
理想热动平衡下, 细致平衡成立.

稳定状态 $\frac{dN_{r,j}}{dt} = 0$.

粗粒平衡.

所有的过程.

之和为 0.



电离平衡

一般只考虑两个相邻能级

$$\sum \text{电离} + \sum \text{碰撞} = \sum \text{电离复合} + \sum \text{碰撞复合}$$

\uparrow r 次电离 \uparrow ($r+1$ 级电离)
 (能量给第 r 个粒子)

粒子数守恒下, 给能级平衡方程提供附加关系

热平衡下,

$$\sum \text{电离} = \sum \text{复合}$$

$$R_{ic} = C_{ci}$$

N_0 -LT正情况

Corona. 辐射密度小, 电离可忽略. 主要是碰撞电离

但物质密度小, 三体碰撞可忽略 \rightarrow 碰撞复合可忽略

$$\sum \text{碰撞} = \sum \text{复合}$$

$$N_e N_r q_c(T_e) = N_e N_{r+1} \alpha(T_e)$$

\downarrow
 r 次电离原子上
与电子碰撞速
率系数

\downarrow
 $r+1$ 次复合
到所有能级

日冕中的电离只有电子的温度有关, 与电子数密度无关

$$\alpha(T_e) = \sum_{j=1}^{\infty} \alpha_j = \sum_{j=1}^{\infty} \int_0^{\infty} f(v) v \beta_{ij} dv$$

\downarrow 碰撞截面

取 $T_e = 13.6 \text{ eV}$. 日冕中 $\frac{N^+}{N} \approx 10^6$. 远低于 $N_e = 10^8 \text{ cm}^{-3}$ 的热动平衡. 故冕的电离情况对热动平衡偏离大.

行星状星云. 大多数密度很低. 碰撞忽略.

Σ 光离 = Σ 光合.

$$\sum_{j=1}^{\infty} R_{jc} = N_e N_{r+1} \alpha(T_e)$$

$$N_{r,j} (k_{\nu})_{r,j} d\nu \int I_{\nu} d\omega = N_{r,j} (k'_{\nu})_{r,j} 4\pi J_{\nu} d\nu.$$

光致电离次数

$$\frac{4\pi}{h} \frac{N_{r,j} (k'_{\nu})_{r,j} J_{\nu} d\nu}{\nu}$$

$$R_{jc} = \int \frac{4\pi}{h} \frac{N_{r,j} (k'_{\nu})_{r,j} J_{\nu} d\nu}{\nu}$$

$$\sum_{j=1}^{\infty} R_{jc} = \frac{4\pi}{h} \int \sum_{j=1}^{\infty} \frac{N_{r,j} (k'_{\nu})_{r,j} J_{\nu} d\nu}{\nu}$$

$$= \frac{4\pi}{h} N_{r,1} \int_{\nu_1}^{\infty} \frac{(k_{\nu})_{r,1} J_{\nu} d\nu}{\nu} = N_e N_{r+1} \alpha(T).$$

与电子温度. 内部辐射场. 电子数密度有关.

热平衡.

$$C_H = L_C.$$

气体加热 \rightarrow 光电离.

$$C_H^{bf}(H) = N_H \int_{\frac{\chi_H}{h}}^{\infty} \frac{4\pi J_\nu}{h\nu} (h\nu - \chi_H) (k\nu)_{bf} d\nu.$$

气体冷却.

1) 离子的复合.

2) 韧致辐射.

3) 碰撞.

$$L_C^R = (N_e N^+ \alpha^{(i)}) K_B T. \quad \rightarrow \text{复合到所有能级}$$

韧致辐射.

f-f transition.

经典上电子加速运动产生了辐射.

$$\begin{aligned} L_C^{ff}(z) &= 4\pi j_{ff} \\ &= \frac{25\pi e^6 z^2}{3^{3/2} h m e c^3} \left(\frac{2\pi k_B T}{m e} \right)^{1/2} g_{ff} N_e N^+. \end{aligned}$$

实际上是 ~~电子-电子~~ 电子-电子韧致辐射. 与频率无关 高温贡献大

尤其在 Corona 中. $N^+ = N_{He^+} + N_p$.

碰撞激发.

恒星形成. 低激发态. 气体的主要冷却形成作用.

$$G_M^{bf} = L_C^R + L_C^{\#} + L_C^C.$$

$$G_H^{bf} - L_C^R = L_C^{\#} + L_C^C$$

源方程.

谱线展宽. 自发发射分布

$$j_{\nu\rho} = \frac{h\nu}{4\pi} A_{ki} N_k \psi_{\nu}.$$

$$l_{\nu\rho} = \frac{h\nu}{4\pi} (B_{jk} N_i - B_{ki} N_k) \varphi_{\nu}.$$

$$S_{\nu} = \frac{j_{\nu}}{l_{\nu}} = \frac{A_{ki}}{B_{kj}} \frac{1}{\frac{g_k N_j}{g_j N_k} - 1} \frac{\psi_{\nu}}{\varphi_{\nu}}.$$

已知利用 $g_j B_{jk} = g_k B_{kj}$.

$$\frac{A_{ki}}{B_{kj}} = \frac{2 h \nu^3}{c^2}.$$

只有当 $\psi_{\nu} = \varphi_{\nu}$. 且 N_j/N_k 满足 Boltzmann 公式

源函数才等价于 Planck 函数.

$$\frac{N_j}{N_k} = \frac{N_j}{N_j^*} \frac{N_j^*}{N_k^*} \frac{N_k^*}{N_k}$$

$$= \frac{b_j}{b_k} \frac{g_{kj}}{g_{jk}} e^{\frac{\chi_j - \chi_k}{k_B T}}$$

$$S_\nu = \frac{2h\nu^3}{c^2} \frac{1}{\frac{b_k}{b_j} e^{\frac{h\nu}{k_B T}} - 1} \frac{\psi_\nu}{g_\nu}$$

发射线的形成机制.

以行星状星为例.

核星温度很高. FUV 辐射强.

稀释因子 10^{-14} .

星云先厚薄

$$\cancel{W} = u_\nu = W u_\nu^*$$

$$\Rightarrow u = W u_\nu$$

$$a_1 T_1^4 = W a_1 T^*{}^4$$

$$\therefore T_1 = W^{1/4} T^*. \text{ 取 } T^* = 3 \times 10^4 \text{ K}$$

$$T_1 \approx 10 \text{ K. Non-LTE. 远红外外.}$$

Rossland Th.

一、稀薄化的辐射场，将紫外-可见光区为红外辐射。

在量子上表现为将一~~个~~^个高频光子区化为多个低频光子。

$W \ll 1$ 时 比率正比于 W^{-1} 。发射线的产生。

禁线条件
偶极跃迁

$$\Delta S = 0$$

$$\Delta L = 0, \pm 1$$

$$\Delta J = 0, \pm 1$$

$$\Delta M_j = 0, \pm 1 \quad (\text{但 } 0 \rightarrow 0 \text{ 禁戒}) \quad \nu \sim 10^7 - 10^9 \text{ s}^{-1}$$

电四极跃迁 ($\Delta J = 0, \pm 1, \pm 2$)

磁偶极跃迁 ($\Delta S = \pm 1, \Delta L = \pm 1$) $\nu \sim 10^{-5} \text{ s}^{-1}$

[OIV]

禁戒跃迁

只有高能态是亚稳态。(除禁戒跃迁外，没有其他低能态)。

且足够多粒子处于亚稳态。

(辐射密度、粒子密度都较小)。

$$W \ll \frac{A_{21}}{A_{21}^0} \quad (\text{不让电离})$$

$$N_e \ll \frac{A_{21}}{q_{21}} \quad (\text{不让碰撞离开亚稳态})$$

[0E] x 5007 线.